

# Probabilidad y Estadística para Ingeniería y Ciencias

Domingo Guzmán Chumpitaz Ramos  
Oscar Benito Pacheco  
Edinson Raúl Montoro Alegre  
Rosa Luz Medina Aguilar  
Richard Jayo Gonzales  
Rosa Eva Arenales López

ISBN: 978-9915-698-72-4



9 789915 698724

## Probabilidad y estadística para ingeniería y ciencias

*Chumpitaz Ramos, Domingo Guzmán; Benito Pacheco, Oscar; Montoro Alegre, Edinson Raúl; Medina Aguilar, Rosa Luz; Jayo Gonzales, Richard; Arenales López, Rosa Eva*

© *Chumpitaz Ramos, Domingo Guzmán; Benito Pacheco, Oscar; Montoro Alegre, Edinson Raúl; Medina Aguilar, Rosa Luz; Jayo Gonzales, Richard; Arenales López, Rosa Eva, 2026*

Primera edición (1.ª ed.): febrero, 2026

Editado por:

**Editorial Mar Caribe**®

[www.editorialmarcaribe.es](http://www.editorialmarcaribe.es)

Av. Gral. Flores 547, 70000 Col. del Sacramento, Departamento de Colonia, Uruguay.

Diseño de carátula e ilustraciones:

*Editorial Mar Caribe*

Libro electrónico disponible en:

<https://editorialmarcaribe.es/ark:/10951/isbn.9789915698724>

Formato: Electrónico

ISBN: 978-9915-698-72-4

ARK:

<ark:/10951/isbn.9789915698724>

**Editorial Mar Caribe (OASPA):** Como miembro de la Open Access Scholarly Publishing Association, apoyamos el acceso abierto de acuerdo con el código de conducta, la transparencia y las mejores prácticas de OASPA para la publicación de libros académicos y de investigación. Estamos

comprometidos con los más altos estándares editoriales en ética y deontología, bajo la premisa de «Ciencia Abierta en América Latina y el Caribe»

# OASPA

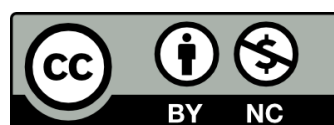
Editorial Mar Caribe, firmante N° 795 de 12.08.2024 de la [Declaración de Berlín](#)

*"... Nos sentimos obligados a abordar los retos de Internet como un medio funcional emergente para la distribución del conocimiento. Obviamente, estos avances pueden modificar significativamente la naturaleza de la publicación científica, así como el actual sistema de garantía de calidad..."* (Max Planck Society, ed. 2003, pp. 152-153).



[CC BY-NC 4.0](#)

Los autores pueden autorizar al público en general a reutilizar sus obras únicamente con fines no lucrativos, los lectores pueden utilizar una obra para generar otra, siempre que se dé crédito a la investigación, y conceden al editor el derecho a publicar primero su ensayo bajo los términos de la licencia CC BY-NC 4.0.



Editorial Mar Caribe se adhiere a la "Recomendación relativa a la preservación del patrimonio documental, comprendido el patrimonio digital, y el acceso al mismo" de la UNESCO y a la Norma Internacional de referencia para un sistema abierto de información archivística ([OAIS-ISO 14721](#)). Este libro está preservado digitalmente en [Data Segura](#).



**Editorial Mar Caribe**

**Probabilidad y estadística para ingeniería y  
ciencias**

**Colonia, Uruguay**

**2026**

# **Probabilidad y estadística para ingeniería y ciencias**

# Índice

Introducción.....	9
Capítulo 1 .....	12
Probabilidad y estadística en ingeniería ciencias: enfoques pedagógicos, herramientas tecnológicas y aplicaciones avanzadas .....	12
La literatura académica de referencia.....	13
Sistemas Curriculares y Prácticas Universitarias .....	16
Distribuciones de Probabilidad y Modelado Aplicado.....	17
El Espectro de Software y Herramientas Computacionales .....	19
Didáctica Digital y Gamificación .....	23
La convergencia con la inteligencia artificial y el Big Data.....	24
Capítulo 2 .....	27
Variables aleatorias y distribuciones de probabilidad: propiedades analíticas, convergencias y aplicaciones multidimensionales .....	27
Concepto y tipología de las variables aleatorias .....	28
Variables aleatorias discretas y el proceso de conteo .....	28
Variables aleatorias continuas y el espectro de la medición.....	29
Caracterización analítica: Momentos y funciones de distribución.....	31
Función de distribución acumulada .....	31
Esperanza matemática y momentos ordinarios.....	32
Varianza y momentos centrados .....	32
Modelos de distribución discreta y sus aplicaciones .....	33
Distribución de Bernoulli y distribución binomial .....	34
Distribución geométrica y distribución binomial negativa .....	34
Distribución de Poisson y el concepto de eventos raros.....	35
Modelos continuos y la modelización del tiempo y la magnitud .....	35
Distribución uniforme continua .....	36
Distribución exponencial y fiabilidad de sistemas.....	36
Distribución normal y su derivación matemática .....	37
Interconectividad, límites asintóticos y transformaciones.....	38

La aproximación de Poisson a la distribución binomial.....	38
La aproximación normal y el teorema de De Moivre-Laplace.....	39
Plataformas computacionales y modelización avanzada .....	40
Capítulo 3 .....	42
Esperanza matemática distribuciones de probabilidad discreta: De los fundamentos axiomáticos a la ingeniería del riesgo.....	42
Contexto histórico y evolución epistemológica del valor esperado .....	42
Definición técnica y requisitos de convergencia en el espacio discreto.....	44
El operador esperanza: propiedades algebraicas y linealidad .....	45
Linealidad y transformaciones de escala .....	45
Esperanza de funciones y vectores aleatorios .....	46
Propiedades de orden y desigualdades.....	47
Momentos de la distribución y medidas de dispersión .....	47
Varianza y desviación estándar .....	48
Asimetría y curtosis: la forma de la incertidumbre.....	48
Distribuciones de probabilidad discreta notables y sus propiedades.....	50
La distribución de Bernoulli: la unidad mínima de aleatoriedad .....	50
La distribución binomial: el poder de la agregación.....	51
La distribución de Poisson: la ley de los eventos raros .....	51
La distribución hipergeométrica: muestreo sin reemplazo .....	52
Aplicaciones de la esperanza matemática en la gestión de riesgos y seguros.....	52
Cálculo de la prima pura y recargos.....	52
Seguros de vida y pensiones .....	53
Esperanza matemática en finanzas y toma de decisiones corporativas.....	54
Valoración de activos y carteras.....	54
Optimización de inventarios y logística .....	54
Ética y psicología del valor esperado: Del "juego justo" al trading emocional .....	55
La mentalidad de casino y el ratio riesgo/beneficio.....	55
La falacia del precio justo .....	56

Capítulo 4 .....	57
Teoría y praxis de las distribuciones continuas de probabilidad en la ciencia de datos, la ingeniería y el análisis cuantitativo .....	57
Fundamentos epistemológicos y matemáticos de la continuidad .....	57
Estadísticos de centralidad y dispersión en el espectro continuo .....	59
La distribución normal: la arquitectura de la variabilidad natural .....	60
El Teorema Central del Límite y su trascendencia .....	61
Estandarización y la métrica de puntuación Z .....	61
La regla empírica y la gestión de intervalos de confianza .....	62
Distribución Uniforme: La base de la simulación .....	62
Distribución Exponencial: Tiempos de vida y falta de memoria .....	63
Distribuciones de contraste y su papel en la inferencia científica .....	63
Distribución t de Student: Precisión en muestras pequeñas .....	64
Distribución Chi-Cuadrado y el análisis de varianzas .....	64
Distribución F de Fisher-Snedecor y el ANOVA .....	65
Ingeniería financiera y la gestión probabilística del riesgo .....	65
Metodologías de cálculo del VaR y asunciones distributivas .....	65
Distribuciones continuas en el ecosistema de la ciencia de datos .....	66
Supuestos de normalidad en modelos de regresión .....	66
Detección de anomalías y preprocesamiento .....	67
Implementación computacional y herramientas de software .....	67
Síntesis y proyecciones futuras .....	69
Capítulo 5 .....	70
Análisis matemático de las funciones de varias variables .....	70
Fundamentos Topológicos y Definiciones Conceptuales .....	70
Representación Visual: Superficies y Mapas de Contorno .....	72
El rol de las trazas y las superficies cuádricas .....	72
Curvas de Nivel y Mapas Topográficos .....	73
Dinámica de Límites y Continuidad en Varias Variables .....	73
La Definición Formal Épsilon-Delta .....	74

Criterios de Continuidad.....	74
El Cálculo Diferencial: Derivadas Parciales y el Vector Gradiente.....	75
Interpretación Geométrica y Mecánica.....	75
El vector gradiente y su potencial analítico .....	75
Derivadas de orden superior y la matriz hessiana.....	76
El teorema de Clairaut y simetría.....	76
Aplicaciones de la matriz hessiana .....	76
Regla de la Cadena y Diferenciación Implícita.....	77
Diagramas de Árbol y Variables Intermedias .....	77
Aplicación en Funciones Implícitas.....	78
Optimización Condicionada: El Método de los Multiplicadores de Lagrange .....	78
El Lagrangiano y el Significado de Lambda .....	79
Aplicaciones en la Gestión de la Producción.....	79
Integración Múltiple: Volumen, Masa y Centros de Gravedad.....	80
Integrales Dobles y el Teorema de Fubini .....	80
Propiedades Físicas: Masa y Momentos .....	80
Transformaciones y Sistemas de Coordenadas.....	81
Coordenadas Polares y Cilíndricas .....	81
Coordenadas Esféricas y el Jacobiano .....	81
Aplicaciones Transdisciplinarias de las Funciones Multivariantes.....	82
Termodinámica y Meteorología .....	82
Electromagnetismo y Ecuaciones de Maxwell.....	82
Teoría Económica: El Enfoque Marginalista .....	83
Síntesis y Relevancia en la Era de la Computación.....	83
Capítulo 6 .....	85
Control estadístico de la calidad y métodos bayesianos.....	85
La transición teórica del paradigma clásico al bayesiano.....	87
Distribuciones a priori y verosimilitud en la actualización de procesos...88	
El papel de las distribuciones predictivas en la monitorización en tiempo	

real.....	90
Modelado avanzado mediante redes bayesianas y computación bayesiana aproximada (ABC) .....	91
Computación Bayesiana Aproximada (ABC) en escenarios sin verosimilitud explícita .....	92
Funciones de pérdida y optimización económica en las decisiones de calidad .....	94
Dinámica de decisiones en el muestreo de aceptación.....	97
Gráficos de control bayesianos avanzados para distribuciones específicas	98
Variaciones de memoria y adaptabilidad en gráficos de control por atributos .....	99
Planes de muestreo de aceptación bayesianos y cadenas de Markov .....	101
Muestreo de aceptación bajo esquemas de censura progresiva tipo II.	103
Evaluación de la capacidad del proceso bajo el enfoque bayesiano .....	104
Procedimientos en Statgraphics y derivación de métricas de margen ..	105
Ecosistemas computacionales y paquetes de R para el control bayesiano .....	107
Conclusión .....	112
Bibliografía .....	114

# Introducción

La habilidad de entender la realidad mediante datos y manejar la incertidumbre con modelos matemáticos se ha establecido como una competencia fundamental en la ingeniería moderna. Cuando abordamos un tratado como "Probabilidad y estadística para ingeniería y ciencias", es esencial entender que no es solo una serie de fórmulas, sino un sistema de pensamiento crítico que transforma el caos del azar en conocimientos útiles.

Hoy, esta disciplina está en medio de una transformación sin precedentes, causada por el avance de la inteligencia artificial masiva, la analítica en tiempo real y la creciente necesidad de una gobernanza ética en la gestión de datos. El libro explora las dimensiones históricas, técnicas, pedagógicas y contextualizadas que configuran el estudio de la probabilidad y la estadística hoy en día, centrándose en los desafíos y oportunidades en el entorno académico y profesional del Perú.

*Antecedentes:* La historia de la probabilidad narra cómo la humanidad aprendió a gestionar lo imprevisible. Aunque las civilizaciones antiguas usaron mecanismos de azar para tomar decisiones, la formalización matemática de este fenómeno no ocurrió hasta el siglo XVII. Los fundamentos de la teoría moderna surgen de la correspondencia entre Blaise Pascal y Pierre de Fermat en 1654, motivada por resolver problemas en juegos de apuestas, especialmente la división de apuestas en un juego interrumpido. Este interés práctico rápidamente se transformó en una ciencia que, según Pierre Simon Laplace, se convertiría en uno de los aspectos más importantes del conocimiento humano, dado su capacidad para guiar la razón sin certezas

absolutas.

El desarrollo de la estadística, paralelamente, transitó de una función meramente descriptiva de los asuntos del Estado —de donde deriva su etimología— a convertirse en un método de inferencia científica. Durante los siglos XVIII y XIX, figuras como Jakob Bernoulli introdujeron la Ley de los Grandes Números en su obra póstuma "Ars Conjectandi", mientras que Thomas Bayes sentó las bases de la inferencia inversa, lo que permite actualizar la probabilidad de una hipótesis a medida que se recolecta nueva evidencia. La distribución normal, perfeccionada por Carl Friedrich Gauss y Abraham de Moivre, proporcionó el marco para el modelado de errores de medición, una herramienta vital para la astronomía y la geodesia de la época.

La consolidación definitiva de la probabilidad como rama de las matemáticas puras se produjo en 1933 con la obra de Andrei Kolmogorov, quien estableció un sistema axiomático basado en la teoría de la medida. Esta formalización permitió que la disciplina fuera aceptada en los círculos académicos más rigurosos, superando la percepción inicial de que era una extensión de las matemáticas aplicadas al "mercado negro" de los juegos de azar. Este rigor axiomático sigue siendo la base sobre la que se construyen los algoritmos de aprendizaje profundo y los sistemas de soporte a la decisión en ingeniería.

Por ende, la inteligencia artificial (IA) ha dejado de ser una promesa tecnológica para convertirse en una infraestructura productiva real. Esta transición ha redefinido la importancia de la estadística en la ingeniería. Ya no se trata solo de calcular medias o desviaciones estándar, sino de gestionar sistemas que aprenden de forma autónoma y requieren una supervisión

estadística constante para evitar la degradación de los modelos y el sesgo algorítmico. El ingeniero de hoy actúa como un orquestador de datos que debe priorizar la trazabilidad y la calidad de la información por encima del volumen masivo.

Una de las tendencias más disruptivas es el auge de la IA agéntica. A diferencia de los modelos generativos tradicionales que solo producen contenido, los agentes autónomos ejecutan tareas complejas siguiendo objetivos definidos por el usuario, lo que reduce drásticamente la latencia en la toma de decisiones empresariales. Además, el análisis multimodal se ha convertido en un estándar. Los ingenieros ahora integran datos provenientes de texto, imágenes, video y señales de sensores térmicos o acústicos para construir una visión holística de los procesos industriales.

Este libro surge de la idea de que, en Perú, aumenta la necesidad de profesionales en estadística e ingeniería con habilidades analíticas avanzadas, debido a la madurez del ecosistema digital del país. Esto ha impulsado a las universidades peruanas a actualizar sus programas de estudio, enfocándolos en ciencia de datos e inteligencia artificial.

En síntesis, la enseñanza también se apoya en la IA generativa para personalizar el aprendizaje. Los modelos de *machine learning* analizan el progreso de los estudiantes, identifican obstáculos recurrentes y diseñan estrategias de retroalimentación adaptativa. Esto permitirá que el docente se desplace de una función de transmisor de información a otra de mentor y facilitador de competencias complejas de razonamiento bajo incertidumbre.

# Capítulo 1

## Probabilidad y estadística en ingeniería ciencias: enfoques pedagógicos, herramientas tecnológicas y aplicaciones avanzadas

La probabilidad y la estadística constituyen los pilares fundamentales sobre los que se erige el método de ingeniería moderno, especialmente en contextos en los que la incertidumbre y el riesgo determinan la viabilidad de los proyectos. Históricamente, la formación de ingenieros y científicos se centraba predominantemente en modelos deterministas, en los que las leyes físicas y químicas proporcionaban respuestas exactas a problemas cerrados. Sin embargo, el advenimiento de sistemas tecnológicos cada vez más complejos y la masificación de la recopilación de datos han obligado a un cambio de paradigma hacia un pensamiento aleatorio y probabilístico (Uchima et al., 2024). El verdadero valor de estas disciplinas en la formación universitaria no radica simplemente en el cálculo de promedios o en la creación de gráficos, sino en su capacidad para proporcionar un marco matemático riguroso que permite la toma de decisiones fundamentadas en condiciones de incertidumbre.

En las facultades de ingeniería y ciencias exactas, la integración de la estadística responde a la necesidad de transitar desde la mera observación

hasta la modelación empírica. Se considera que una ciencia que comenzó por analizar simples juegos de azar ha acabado por convertirse en uno de los objetos más importantes del conocimiento humano. En el plano real, el uso de modelos probabilísticos y métodos estadísticos para analizar datos se ha consolidado como una práctica común en la mayoría de las disciplinas científicas. Las aplicaciones van desde la física y la economía hasta la ingeniería forestal, la agronomía, la salud pública, la gestión de inventarios y el análisis de mercado.

A través de la probabilidad se obtiene la frecuencia de un suceso determinado mediante la realización de experimentos aleatorios cuyos resultados posibles se conocen. La estadística es el vehículo que permite llevar a cabo los procesos de investigación científica, ayudando a optimizar el uso de los materiales y la fuerza de trabajo en el entorno industrial. Al investigar el desarrollo de nuevos productos, estos métodos permiten comprender las distintas variaciones, predecirlas y controlarlas de manera eficiente.

## **La literatura académica de referencia**

La enseñanza de la probabilidad y la estadística para ingeniería se apoya en una sólida bibliografía que ha evolucionado para reflejar los cambios en el procesamiento de datos y las demandas de la industria moderna (Vásquez & Alsina, 2021). El análisis de estas obras permite identificar diversos matices pedagógicos y enfoques metodológicos diseñados para guiar al estudiante universitario en el desarrollo de sus competencias analíticas.

Una de las obras más difundidas a nivel global es la desarrollada por Ronald E. Walpole, Raymond H. Myers, Sharon L. Myers y Keying Ye, que cuenta

con múltiples ediciones que demuestran su vigencia y su constante actualización. Este texto destaca por buscar un equilibrio riguroso entre la teoría estadística y la aplicación metodológica. Sus ejercicios a menudo incorporan conjuntos de datos de estudios reales realizados por ingenieros y científicos. Otra referencia clave es la obra de Jay Devore, que prioriza un enfoque orientado a conectar a los alumnos con la estadística mediante el uso intensivo de ejemplos del mundo real y datos no artificiales. Por último, el texto de Douglas Montgomery y George Runger está profundamente alineado con los pasos lógicos del método de ingeniería tradicional, enseñando a refinar modelos con base en los datos observados para sacar conclusiones efectivas.

A continuación, se presenta una comparación detallada de las características estructurales y los contenidos específicos que diferencian los principales textos académicos utilizados en la instrucción universitaria (véase la Tabla 1).

**Tabla 1: Comparación de características estructurales y contenidos de los textos académicos utilizados en la enseñanza universitaria**

<b>Texto y Autor</b>	<b>Ediciones y editoriales</b>	<b>Enfoque de Contenido y Características</b>	<b>Temas Avanzados Específicos</b>
Probabilidad y estadística para ingeniería y ciencias (Walpole et al.) <sup>8</sup>	1. <sup>a</sup> Edición Digital (2022), 9. <sup>a</sup> Edición Impresa (2012), 8. <sup>a</sup> Edición (2007) por Pearson	Búsqueda de equilibrio entre teoría y metodología. Requiere	Introducción de distribuciones logarítmicas normales y aplicaciones

		prerrequisitos de cálculo diferencial e integral multivariable	robustas de la distribución $t$ para varianzas no homogéneas
Probabilidad y estadística para ingeniería y ciencias (Devore) <sup>5</sup>	7. <sup>a</sup> edición por Cengage	Enfoque empírico basado en datos reales no artificiales para conectar las experiencias diarias con intereses científicos	Procedimientos CUSUM, muestreo de aceptación, métodos de ji cuadrado y técnicas de control de calidad estadístico
Probabilidad y estadística aplicada a la ingeniería (Montgomery & Runger) <sup>12</sup>	Diversas ediciones enfocadas en ingeniería de procesos	Orientado a seguir estrictamente los pasos del método de ingeniería para la solución de problemas y toma de decisiones	Diseños factoriales completos y fraccionados aplicados al diseño de experimentos industriales
Probabilidad y estadística para ciencias e	1. <sup>a</sup> Edición (2018) por Delta Publicaciones	Menor exigencia en conocimientos matemáticos	Errores de medición, test $Q$

ingenierías (Delgado de la Torre) <sup>4</sup>	Universitarias	previos amplios, centrándose en nociones de teoría de conjuntos y rudimentos de cálculo	de Dixon para detección de valores atípicos y control estadístico de la calidad
--	----------------	--	---

La diversidad de textos disponibles demuestra que la elección bibliográfica por parte de las instituciones universitarias no es arbitraria. Aquellas facultades que priorizan una fundamentación matemática robusta, orientada a la investigación o al desarrollo de modelos complejos, tienden a favorecer obras como las de Walpole, en las que las derivadas parciales y el álgebra lineal complementan el tratamiento de la regresión lineal múltiple (Korkmaz et al., 2023). En contraste, los programas orientados a la rápida inserción laboral y a la optimización de procesos industriales suelen preferir textos como los de Devore o Montgomery, en los que las herramientas de control de calidad y los procedimientos de muestreo de aceptación se abordan de manera más directa y práctica.

## **Sistemas Curriculares y Prácticas Universitarias**

El análisis de los planes de estudio y sílabos de diversas universidades e instituciones tecnológicas en Latinoamérica y el Caribe evidencia una notable convergencia en la estructura secuencial de los cursos de probabilidad y estadística. La progresión curricular habitual parte de la reducción de datos y

la estadística descriptiva, avanza hacia la teoría formal de la probabilidad, se adentra en el estudio de las variables aleatorias y culmina en los métodos avanzados de inferencia estadística, regresión y análisis de varianza.

## **Distribuciones de Probabilidad y Modelado Aplicado**

El estudio de las variables aleatorias y sus distribuciones asociadas constituye el núcleo operativo de la estadística aplicada a la ingeniería. Los modelos teóricos permiten a los profesionales simular y predecir el comportamiento de sistemas complejos en condiciones de operación estables. La capacidad de discernir qué distribución se ajusta mejor a un fenómeno físico o logístico particular determina la precisión de las decisiones de diseño y mantenimiento.

En el ámbito de la ingeniería de transporte y civil, las distribuciones discretas y continuas desempeñan un papel crucial en la evaluación de la infraestructura. El ensayo de Bernoulli sirve como base para detectar eventos de interés específicos, como la presencia de un camión con sobrecarga o un retraso imprevisto en un aeropuerto. La distribución de Poisson permite modelar la tasa de llegada de estos eventos en un continuo de tiempo, mientras que la distribución Gamma facilita el cálculo del tiempo de espera necesario hasta que ocurra un número determinado de dichos eventos.

En el caso de variables continuas, la distribución logarítmica normal ha ganado amplia aceptación en problemas de ingeniería. Esta distribución resulta adecuada cuando la variable aleatoria analizada tiene la propiedad de que su logaritmo natural sigue una distribución normal estándar. Dado que

sólo toma valores positivos y genera histogramas sesgados con colas alargadas, se aplica con notable éxito en la hidrología para modelar caudales máximos y en la ingeniería mecánica para predecir los tiempos de fatiga de materiales sometidos a esfuerzos constantes.

Por otro lado, la aplicación de técnicas estadísticas en mercados dinámicos, como el sector eléctrico, demuestra la versatilidad de los modelos matemáticos complejos. Mediante el uso de series temporales, los ingenieros pueden predecir con alta precisión el comportamiento de la demanda eléctrica según el día de la semana o según factores específicos, como las festividades. Incluso es posible simular escenarios hipotéticos avanzados, como el impacto que tendría en la red la eliminación del cambio de hora estacional, permitiendo tomar medidas de control preventivo tanto a corto como a largo plazo.

Una aplicación de gran relevancia práctica está documentada en la industria química mexicana dedicada a la fabricación de adhesivos para calzado. En este caso de estudio, se aplicó la metodología Six Sigma con el objetivo de reducir las variaciones en las propiedades fisicoquímicas críticas de los productos, a saber: la densidad, la viscosidad y el porcentaje de sólidos. Los indicadores iniciales mostraron un rendimiento de proceso ligeramente superior a 2 sigmas, el cual fue optimizado mediante un procedimiento de tipo DMAIC (Definir, Medir, Analizar, Mejorar y Controlar) característico de la manufactura esbelta o *lean manufacturing*.

Al aplicar rigurosamente las pruebas estadísticas y el control de variabilidad, la mayoría de las alteraciones fueron corregidas hasta alcanzar una métrica superior a las 3 sigmas, evidenciando cómo el análisis de datos puros impacta directamente la competitividad y la calidad de los productos

manufacturados (Evans, 2024).

## **El Espectro de Software y Herramientas Computacionales**

La proliferación de grandes volúmenes de información ha convertido los lenguajes de programación y el software especializado en herramientas indispensables para los profesionales de la ingeniería y la ciencia de datos. Ya no basta con dominar los conceptos teóricos; el ingeniero moderno debe ser capaz de implementar flujos de trabajo completos que abarquen desde la extracción y limpieza de datos hasta el modelado avanzado y la visualización interactiva (Cardona et al., 2020) .

La elección del entorno de desarrollo depende en gran medida de las necesidades específicas del proyecto, del volumen de datos a procesar y de la cultura tecnológica de la organización. En la Tabla 2 se presenta una evaluación comparativa de los principales lenguajes y herramientas computacionales utilizados tanto en la academia como en entornos de producción industrial para el análisis estadístico.

**Tabla 2: Evaluación comparativa de los principales lenguajes y herramientas computacionales utilizados**

<b>Lenguaje o software</b>	<b>Ámbito de Excelencia y Uso Principal</b>	<b>Librerías y Herramientas Clave</b>	<b>Ventajas Notables y Diferenciadores</b>
Python <sup>24</sup>	Ciencia de datos	NumPy, pandas,	Sintaxis intuitiva

	general, machine learning y automatización	Matplotlib, scikit-learn, TensorFlow, Apache Airflow	similar al inglés, ideal para principiantes y flujos de trabajo de producción unificados
R <sup>24</sup>	Análisis estadístico profundo y gráficos de alta calidad profesional	ggplot2, dplyr, Shiny, plotly, Tidyverse	Diseñado específicamente por y para estadísticos; control detallado sobre métodos avanzados de análisis
SQL <sup>24</sup>	Extracción, gestión y manipulación de datos en bases de datos relacionales	Integración nativa con Python y R para flujos ETL	Indispensable para manejar grandes volúmenes de datos estructurados de manera rápida y eficiente
Julia <sup>24</sup>	Análisis numérico de alto	Librerías de modelado	Combina la sintaxis amigable

	rendimiento y simulaciones complejas	matemático intensivo	de Python con la velocidad de ejecución del lenguaje C
MATLAB <sup>24</sup>	Modelado matemático, procesamiento de señales y sistemas de control	Toolboxes de estadística, Onramp interactive courses	Excelente para proyectos de ingeniería tradicional que requieren simulaciones físicas intensivas
Scala <sup>24</sup>	Procesamiento de Big Data y análisis en tiempo real	Alta compatibilidad y optimización con Apache Spark	Capacidad para manejar datos distribuidos masivos a gran velocidad en sistemas empresariales
Minitab <sup>14</sup>	Control estadístico de procesos y metodologías Six Sigma	Pruebas de hipótesis rápidas, análisis Gage R&R, diseño de experimentos	Interfaz visual simple de apuntar y hacer clic; muy apreciado por ingenieros que no desean programar

numiqo <sup>14</sup>	Alternativa económica y basada en navegador a Minitab	MSA, Cp/Cpk, gráficos de control, diseños Box-Behnken	Ejecución local en el navegador garantizando total privacidad y seguridad de los datos corporativos
----------------------	---	---	---

La discusión en comunidades profesionales de ingeniería, como las documentadas en foros especializados, refleja que no existe una herramienta unívocamente superior para todas las tareas. Mientras que los estadísticos puros y académicos defienden la flexibilidad casi ilimitada de R y su robusto ecosistema de paquetes en CRAN, ingenieros químicos y de calidad en plantas de manufactura argumentan que Minitab es la aplicación predilecta para el día a día debido a su inmediatez para trazar gráficos de control, diagramas de correlación y regresiones múltiples sin la necesidad de escribir líneas de código. Esta perspectiva práctica enfatiza que la herramienta debe elegirse en función del problema que se intenta resolver, y que aprender a programar no convierte automáticamente a un profesional en un mejor analista si no comprende los fundamentos teóricos subyacentes.

Para aquellos ingenieros que optan por lenguajes de programación abiertos, la integración de librerías específicas aporta un valor inconmensurable. En R, librerías como *rgl* y *plotly* permiten crear visualizaciones tridimensionales e interactivas que facilitan la exploración de distribuciones multivariadas, mientras que el paquete *leaflet* permite georreferenciar datos estadísticos en mapas dinámicos. En el ecosistema de

Python, librerías como *Apache Airflow* y *Pyparsing* extienden las capacidades analíticas hacia la ingeniería de datos pura, permitiendo programar y supervisar flujos continuos de procesamiento que alimentan sistemas en tiempo real para la detección de fraudes o la ciberseguridad (Ruiz et al., 2021).

## **Didáctica Digital y Gamificación**

El entorno educativo moderno ha experimentado una profunda transformación gracias al desarrollo de plataformas de aprendizaje en línea y recursos educativos abiertos que complementan la instrucción en las aulas tradicionales. Estas herramientas permiten a los estudiantes universitarios y profesionales consolidar conceptos complejos a su propio ritmo y experimentar con los datos de manera interactiva.

Organizaciones sin fines de lucro como Khan Academy ofrecen catálogos completos con más de un centenar de habilidades en estadística y probabilidad, que abarcan desde la probabilidad teórica básica y el problema de Monty Hall hasta las reglas empíricas de las distribuciones normales y el cálculo de la probabilidad condicional mediante tablas de contingencia. Plataformas como Coursera y edX ofrecen programas especializados impartidos por universidades internacionales, que permiten el aprendizaje aplicado de la estadística bayesiana, la regresión lineal y el análisis de señales neuronales mediante lenguajes como Python, R y MATLAB.

Un aspecto sumamente enriquecedor en la enseñanza contemporánea de la probabilidad es el uso de la gamificación y de los manipuladores virtuales. El aprendizaje de nociones abstractas se facilita notablemente cuando los alumnos interactúan con entornos lúdicos controlados por el azar.

El uso de estas dinámicas lúdicas, sumado a bibliotecas de manipuladores virtuales interactivos financiadas por entidades como la National Science Foundation, ha permitido eliminar el silencio en las aulas y limitar la dependencia exclusiva de la clase magistral como única forma de enseñanza (Vásquez & Alsina, 2021). Los alumnos pueden visualizar de inmediato cómo las probabilidades teóricas se contrastan con las frecuencias experimentales acumuladas, lo que reduce la barrera cognitiva asociada al formalismo puramente matemático.

## **La convergencia con la inteligencia artificial y el Big Data**

El análisis del panorama actual revela que la inteligencia artificial moderna no desplaza a la estadística, sino que se construye directamente sobre sus cimientos. Los algoritmos de aprendizaje automático representan, en esencia, métodos estadísticos tradicionales aplicados a una escala computacional masiva. La estadística proporciona el rigor teórico necesario para garantizar que las conclusiones derivadas de los datos sean válidas y científicamente reproducibles, mientras que la inteligencia artificial aporta la capacidad de implementación tecnológica para procesar millones de registros en tiempo real.

En el análisis de modelos predictivos, las estadísticas descriptivas y la cuantificación de la incertidumbre resultan vitales para crear sistemas de inteligencia artificial fiables. Durante la fase de análisis exploratorio de datos, las medidas de asimetría y curtosis orientan las decisiones de preprocesamiento, como la normalización o la imputación de valores faltantes.

De igual manera, las relaciones entre las características de los datos influyen directamente en la decisión de utilizar métodos lineales o algoritmos no paramétricos basados en árboles de decisión, bosques aleatorios o máquinas de vectores de soporte.

El rol del profesional de la estadística en la era de la inteligencia artificial ha pasado de ser el de un simple transcriptor mecánico de resultados a ser el de un arquitecto de sistemas inteligentes. El profesional es el encargado de validar la calidad de los datos, detectar valores atípicos, calcular los intervalos de confianza de las predicciones de los modelos complejos y asegurar que los sistemas automáticos sirvan al bien común bajo estrictas normas de responsabilidad ética y transparencia metodológica. Mientras que las máquinas pueden ejecutar instrucciones y procesar grandes volúmenes de datos con una precisión perfecta, solo el criterio humano, fundamentado en el pensamiento aleatorio, puede determinar qué preguntas vale la pena responder, qué supuestos matemáticos son razonables para el modelo y en qué momento un análisis estadístico, aun siendo técnicamente correcto, resultaría éticamente irresponsable de implementar.

La revisión integral de la probabilidad y la estadística en las ciencias y la ingeniería demuestra que estas disciplinas han trascendido su rol histórico como meros accesorios matemáticos para consolidarse como el núcleo del método de ingeniería moderno (Franco & Alsina, 2024). La toma de decisiones en entornos industriales complejos, la optimización de procesos mediante metodologías Six Sigma y el diseño de infraestructuras seguras dependen críticamente de la capacidad de modelar la variabilidad y cuantificar el riesgo de manera rigurosa.

El ecosistema educativo ha respondido a estas demandas mediante una notable diversificación de los recursos pedagógicos. El equilibrio clásico entre la rigurosidad de los textos analíticos y la adopción pragmática de software como R, Python o Minitab define el éxito de la formación de los ingenieros (Bicaj et al., 2024). Asimismo, la integración de entornos lúdicos interactivos y la sustitución de herramientas analógicas por aplicaciones digitales han permitido reducir la carga cognitiva inicial de los estudiantes, orientando sus esfuerzos hacia el razonamiento crítico y la interpretación de resultados, en lugar de la ejecución de cálculos aritméticos repetitivos.

Por último, la convergencia indisoluble entre la estadística y la inteligencia artificial redefine el perfil del egresado universitario. Lejos de verse desplazado por la automatización de procesos, el estadístico e ingeniero moderno asume el rol estratégico de estructurar, validar e interpretar sistemas inteligentes complejos. Solo mediante una sólida comprensión de los fundamentos estocásticos y una sólida formación ética será posible orientar el procesamiento masivo de datos hacia soluciones tecnológicas seguras, estables y de alto valor para la sociedad.

# **Capítulo 2**

## **Variables aleatorias y distribuciones de probabilidad: propiedades analíticas, convergencias y aplicaciones multidimensionales**

El modelado de la incertidumbre mediante la teoría de la probabilidad constituye uno de los mayores avances en el ámbito del análisis de sistemas, la estadística inferencial y la toma de decisiones informadas. Las variables aleatorias actúan como el puente fundamental entre el espacio muestral de un experimento aleatorio y el conjunto de los números reales. En este sentido, una variable aleatoria no es simplemente un número cuyo valor es desconocido, sino una función matemática bien definida que asigna un valor numérico único a cada resultado posible de un experimento gobernado por el azar. Esta formalización permite aplicar el rigor del cálculo infinitesimal y el álgebra a fenómenos de naturaleza estocástica, facilitando el desarrollo de modelos predictivos y explicativos aplicables a una vasta gama de disciplinas científicas y tecnológicas.

A menudo se establece una distinción notacional estricta en la literatura para evitar ambigüedades analíticas: las variables aleatorias se denotan con letras mayúsculas, mientras que los valores específicos que estas variables pueden asumir en su rango se representan con letras minúsculas

correspondientes. Este marco permite formular expresiones rigurosas de probabilidad puntual y acumulada. El estudio de estos modelos requiere un desglose exhaustivo de sus tipologías, de los parámetros que rigen su comportamiento y de las complejas interconexiones que permiten aproximar distribuciones complejas mediante estructuras continuas más manejables.

## **Concepto y tipología de las variables aleatorias**

La clasificación de las variables aleatorias depende de la naturaleza del conjunto de valores que pueden asumir, y se divide en variables discretas y continuas. La comprensión de esta división es esencial para seleccionar las herramientas de cálculo adecuadas en cualquier análisis empírico.

### **Variables aleatorias discretas y el proceso de conteo**

Una variable aleatoria se define como discreta si su rango de valores posibles es un conjunto finito o numerable. Este tipo de variables suele asociarse a procesos de conteo, en los que los resultados se expresan en unidades enteras e indivisibles. Un ejemplo clásico de variable aleatoria discreta es el número de caras obtenidas al lanzar una moneda un número determinado de veces, o el número de imperfecciones encontradas en una superficie fabricada.

Un caso analítico paradigmático para comprender las distribuciones discretas es el lanzamiento de dos dados tetraédricos con caras numeradas del 1 al 4. Si se define la variable aleatoria como la suma de los números resultantes, el espacio muestral presenta un rango de dos a ocho. Al tabular

las frecuencias relativas de cada suma posible, se obtiene una distribución de probabilidad perfectamente simétrica, en la que la probabilidad de obtener una suma de cinco es máxima y decrece linealmente hacia los extremos del rango (Gajowniczek & Dudziński, 2024). Este tipo de modelado demuestra cómo un experimento físico regido por el azar puede traducirse de manera directa a una función matemática de masa de probabilidad.

## **Variables aleatorias continuas y el espectro de la medición**

Por el contrario, una variable aleatoria se clasifica como continua cuando puede asumir cualquier valor numérico dentro de un intervalo dado de la recta real, lo que implica que su rango contiene un número infinito no numerable de valores. Las variables continuas suelen estar asociadas a procesos de medición física, en los que la precisión del instrumento determina el número de decimales observables. Ejemplos representativos de este grupo incluyen el peso de un producto manufacturado, la temperatura de un reactor químico, el volumen de contenido en un envase de refresco o el tiempo de espera hasta que un componente electrónico sufra una falla.

Para caracterizar el comportamiento de estas variables en el marco de la probabilidad, se han diseñado estructuras que permiten resumir sus propiedades fundamentales, como se presenta en la Tabla 3.

**Tabla 3: Propiedades fundamentales de las variables discretas y continuas**

<b>Atributo / Característica</b>	<b>Variable Aleatoria Discreta</b>	<b>Variable Aleatoria Continua</b>
<b>Naturaleza del rango</b>	Conjunto finito o infinito numerable	Conjunto infinito no numerable
<b>Mecanismo de origen</b>	Generalmente surge a través del conteo	Generalmente surge a través de la medición
<b>Asignación de probabilidad</b>	Se asigna a cada punto individual del espacio	Se asigna a intervalos mediante áreas bajo curvas
<b>Función asociada</b>	Función de masa de probabilidad (FMP)	Función de densidad de probabilidad (FDP)
<b>Probabilidad puntual</b>	$P(X = x_i) =$	$P(X =$ para cualquier valor exacto
<b>Suma / Integración</b>	$\sum P(X =$	$\int_{-\infty}^{\infty} f(x)dx =$

La transición del análisis discreto al continuo introduce una paradoja matemática fundamental: para una variable continua, la probabilidad de que asuma un valor exacto y específico es igual a cero. Esto se debe a que el número de posibles valores en cualquier intervalo es infinito, lo que diluye la

probabilidad puntual a una magnitud infinitesimal. Por lo tanto, el análisis de variables continuas requiere calcular probabilidades en intervalos específicos mediante la integral definida de la función de densidad de probabilidad en el intervalo de interés (Trujillo et al., 2023).

## **Caracterización analítica: Momentos y funciones de distribución**

La descripción completa de una variable aleatoria no se agota en la definición de su función de probabilidad; requiere la cuantificación de sus momentos estadísticos para comprender su comportamiento promedio y su grado de dispersión.

### **Función de distribución acumulada**

Tanto para variables discretas como continuas, la función de distribución acumulada, representada habitualmente como  $F(x)$ , describe el comportamiento probabilístico acumulado hasta un punto específico y se define formalmente como la probabilidad de que la variable aleatoria tome valores inferiores o iguales a  $x$  (Batanero et al., 2025). Entre sus propiedades axiomáticas inalterables destaca que es una función no decreciente, continua por la derecha, que tiende a cero cuando  $x$  se aproxima al infinito negativo y tiende a la unidad cuando  $x$  se aproxima al infinito positivo. En el caso continuo, la función de distribución acumulada se obtiene mediante la integral de la función de densidad desde el infinito negativo hasta el punto  $x$  de interés.

## Esperanza matemática y momentos ordinarios

El primer momento sobre el origen es la esperanza matemática, denotada comúnmente como  $E[X]$  o  $\mu$ , la cual representa el promedio ponderado de todos los valores posibles que la variable puede tomar, utilizando sus respectivas probabilidades como pesos. En el caso de una variable aleatoria discreta, la esperanza matemática se define mediante la sumatoria convergente  $E[X] = \sum x_i P(X = x_i)$ . En contraste, para una variable aleatoria continua con función de densidad  $f(x)$ , la esperanza se calcula mediante la integral definida  $E[X] = \int_{-\infty}^{\infty} xf(x)dx$ .

La esperanza matemática puede interpretarse intuitivamente como el punto de equilibrio físico de la distribución de probabilidad. Es importante destacar que el valor esperado no necesariamente coincide con un valor observable en el rango de la variable, especialmente en distribuciones discretas (Gajowniczek & Dudziński, 2024). La literatura analítica demuestra que la esperanza posee propiedades de linealidad sumamente útiles: para cualquier par de constantes  $a$  y  $b$ , se cumple que  $E[aX + b] = aE[X] + b$ . Del mismo modo, si se analizan dos variables aleatorias independientes o dependientes, la esperanza de su suma siempre equivale a la suma de sus esperanzas individuales, es decir,  $E = E[X] + E$ .

## Varianza y momentos centrados

El segundo momento central es la varianza, denotada como  $Var[X]$  o  $\sigma^2$ , que mide el grado de dispersión de los valores de la variable aleatoria con

respecto a su esperanza matemática. Matemáticamente, se define como el valor esperado de la desviación al cuadrado, expresado como  $Var[X] = E[(X - E[X])^2]$ . Aplicando las propiedades lineales de la esperanza, la fórmula anterior se simplifica frecuentemente a la expresión operativa  $Var[X] = E[X^2] - (E[X])^2$ , lo cual reduce significativamente la carga computacional en el análisis de datos complejos.

Si se multiplican los datos originales por una constante  $a$ , la varianza resultante queda multiplicada por el cuadrado de dicha constante, cumpliéndose que  $Var[aX] = a^2 Var[X]$ . Por otra parte, la adición de una constante no altera la dispersión de los datos, de modo que  $Var[X + c] = Var[X]$ . La raíz cuadrada de la varianza da como resultado la desviación típica o estándar ( $\sigma$ ), la cual posee la ventaja analítica de expresarse en las mismas unidades físicas que la variable original, facilitando la interpretación física de la variabilidad del sistema. Cuando se trabaja con la suma de variables aleatorias independientes, la varianza de la suma es igual a la suma de las varianzas individuales.

## **Modelos de distribución discreta y sus aplicaciones**

El estudio de las variables aleatorias discretas se fundamenta en la identificación de patrones de repetición y de ensayos independientes. Existen múltiples distribuciones estandarizadas que responden a esquemas experimentales específicos.

## Distribución de Bernoulli y distribución binomial

El modelo más elemental, pero fundamental, es el ensayo de Bernoulli, que describe un experimento con exactamente dos resultados mutuamente excluyentes, tradicionalmente denominados éxito y fracaso. Si la probabilidad de éxito se define como  $p$ , la variable aleatoria toma el valor uno con probabilidad  $p$  y el valor cero con probabilidad  $1 - p$ . La esperanza de esta variable es simplemente  $p$ , mientras que su varianza es igual al producto  $p(1 - p)$  (Vos, 2025).

A partir de la agregación de  $n$  ensayos independientes de Bernoulli, emerge de manera natural la distribución binomial. Esta distribución modela el número total de éxitos en una secuencia fija de pruebas independientes. Su función de masa de probabilidad está dada por la expresión matemática  $P(X = k) = \binom{n}{k} p^k (1 - p)^{n-k}$ , donde el término  $\binom{n}{k}$  representa el número de combinaciones posibles para obtener exactamente  $k$  éxitos en  $n$  intentos

## Distribución geométrica y distribución binomial negativa

La distribución geométrica describe el número de fracasos que ocurren antes de obtener el primer éxito en una serie de ensayos de Bernoulli independientes. Su media está dada por la proporción  $(1 - p)/p$ , y su varianza por  $(1 - p)/p^2$ . Como una extensión directa, la distribución binomial negativa modela el número de fracasos acumulados antes de alcanzar un número específico de éxitos, denominado  $r$ . Existe también la distribución de Pascal, la cual cuenta el número total de pruebas necesarias para alcanzar los

$r$  éxitos, cumpliéndose la relación directa de que la variable de Pascal es equivalente a la suma de la variable binomial negativa más el número de éxitos  $r$  buscados.

## **Distribución de Poisson y el concepto de eventos raros**

Cuando los fenómenos estudiados no involucran un número fijo de ensayos, sino la tasa de ocurrencia de eventos independientes en un intervalo continuo de tiempo o espacio, la distribución de Poisson se convierte en el modelo de referencia. Esta distribución es especialmente útil para modelar sucesos raros en los que la probabilidad de ocurrencia en un subintervalo infinitesimal es proporcional a su longitud. Su función de probabilidad se define como  $P(X = k) = e^{-\lambda} \lambda^k / k!$ , donde  $\lambda$  representa el número medio de ocurrencias esperadas en el intervalo definido.

Esta igualdad proporciona un mecanismo analítico directo para evaluar si un conjunto de datos empíricos se ajusta a un proceso de Poisson puramente estocástico o si presenta un fenómeno conocido como sobredispersión, en cuyo caso la distribución binomial negativa suele ser una alternativa de modelado mucho más adecuada (Pokharel et al., 2024).

## **Modelos continuos y la modelización del tiempo y la magnitud**

En el espectro de las variables continuas, existen distribuciones que destacan por su capacidad para modelar magnitudes físicas y tiempos de espera con alta precisión.

## Distribución uniforme continua

La distribución uniforme se caracteriza por tener una densidad de probabilidad constante en un intervalo acotado entre los puntos  $a$  y  $b$ . Su función de densidad está dada por  $1/(b - a)$  para cualquier punto dentro del intervalo, y por cero en cualquier otra región. Una propiedad fundamental de esta distribución es que la probabilidad de que un suceso ocurra depende exclusivamente de la amplitud del intervalo considerado y no de su posición relativa en el campo de variación de la variable. Su esperanza matemática se sitúa exactamente en el punto medio del intervalo, es decir,  $(a + b)/2$ , mientras que su varianza viene dada por la expresión analítica  $(b - a)^2/12$ .

## Distribución exponencial y fiabilidad de sistemas

La distribución exponencial se utiliza ampliamente para describir el tiempo transcurrido entre eventos consecutivos en un proceso de Poisson. Su función de densidad de probabilidad viene dada por  $f(x) = \lambda e^{-\lambda x}$  para  $x \geq 0$ , y está gobernada por un parámetro de tasa  $\lambda > 0$ . La característica más disruptiva y definitoria de la distribución exponencial es su propiedad de pérdida de memoria, que implica, matemáticamente, que la probabilidad de que un evento ocurra en el futuro no depende en absoluto del tiempo ya transcurrido.

La distribución exponencial halla una fuerte relación con la distribución de Erlang y la distribución gamma. Se ha demostrado analíticamente que la suma de  $n$  variables aleatorias independientes e idénticamente distribuidas

que siguen un modelo exponencial con parámetro  $\lambda$  resulta en una variable aleatoria que obedece a una distribución de Erlang con parámetros  $n$  y  $\lambda$ .

## Distribución normal y su derivación matemática

La distribución normal, también conocida como distribución gaussiana o campana de Gauss, es la piedra angular de la estadística paramétrica moderna. Su ubicuidad en la naturaleza y en los procesos industriales se deriva de sus propiedades de agregación y del comportamiento de las sumas de variables independientes actuando de manera aditiva. La función de densidad de probabilidad de una variable normal está gobernada por la ecuación  $f(x) = (1/(\sigma\sqrt{2\pi}))e^{-(x-\mu)^2/(2\sigma^2)}$ .

Un análisis profundo de la primera derivada de esta función revela que la densidad alcanza su valor máximo absoluto en el punto  $x = \mu$ , lo que demuestra rigurosamente que la media poblacional actúa simultáneamente como la moda de la distribución. Del mismo modo, la evaluación de la segunda derivada permite constatar la existencia de dos puntos de inflexión localizados exactamente en los valores simétricos de  $\mu - \sigma$  y  $\mu + \sigma$ .

Otras distribuciones continuas de gran relevancia mencionadas en la literatura incluyen la distribución lognormal, en la cual el logaritmo natural de la variable sigue una distribución normal de parámetros  $\mu$  y  $\sigma$ . Esta distribución toma valores estrictamente positivos y su histograma suele mostrar un fuerte sesgo a la derecha y colas alargadas, lo cual se ha observado en el análisis de sedimentos y en la estimación de las propiedades ingenieriles de suelos colectados en distintos sitios (Gajowniczek & Dudziński, 2024).

Asimismo, en la gestión de proyectos se emplean distribuciones como la triangular y la beta para determinar los costos y la duración de las actividades programadas, aprovechando la capacidad de estos modelos para parametrizar valores optimistas, pesimistas y el valor más probable de realización de una tarea determinada.

## **Interconectividad, límites asintóticos y transformaciones**

Una de las áreas más profundas de la teoría de la probabilidad radica en las relaciones analíticas que vinculan las distribuciones discretas y continuas bajo condiciones límite específicas. Históricamente, el cálculo de probabilidades binomiales para muestras de gran tamaño resultaba prohibitivo debido a la dificultad computacional de evaluar coeficientes factoriales de gran magnitud. Esta limitación impulsó la búsqueda de aproximaciones continuas y discretas más eficientes.

### **La aproximación de Poisson a la distribución binomial**

La primera gran convergencia ocurre entre la distribución binomial y la de Poisson. Si el número de ensayos  $n$  tiende al infinito y la probabilidad de éxito  $p$  tiende a cero, de tal manera que el producto  $\lambda = np$  permanezca constante y moderado, la distribución binomial converge de manera exacta a la distribución de Poisson. El análisis formal de esta convergencia se basa en descomponer el coeficiente binomial y aplicar la propiedad analítica del límite de  $(1 - \mu/n)^n \rightarrow e^{-\mu}$  a medida que  $n$  se aproxima al infinito. Esta aproximación es altamente valorada en el modelado de eventos raros en

grandes poblaciones y reduce drásticamente las operaciones aritméticas complejas requeridas por los modelos binarios.

## La aproximación normal y el teorema de De Moivre-Laplace

El segundo hito analítico es el teorema de De Moivre-Laplace, el cual representa la versión más primitiva y específica del teorema central del límite. Este teorema postula que una distribución binomial con parámetros  $n$  y  $p$  puede aproximarse con precisión por una distribución normal con media  $\mu = np$  y varianza  $\sigma^2 = np(1 - p)$  a medida que  $n$  crece arbitrariamente. El análisis formal de esta convergencia se fundamenta en la aplicación de la fórmula de Stirling para factoriales y en la expansión en series de Taylor de los logaritmos de las probabilidades.

No obstante, la transición de una variable puramente discreta, que toma valores enteros, a una variable continua que adopta valores en un espectro real introduce un error de discretización inherente. Dado que la probabilidad de que una variable continua asuma un valor exacto es matemáticamente nula, el cálculo directo de una probabilidad puntual usando la distribución normal aproximada arrojaría un resultado de cero.

Para solventar esta discrepancia operativa, se aplica la corrección de continuidad de Yates. Este ajuste consiste en expandir el valor discreto puntual  $k$  hacia un intervalo de longitud unitaria centrado en el punto, es decir, el intervalo comprendido entre  $k - 0.5$  y  $k + 0.5$ , integrando la función de densidad normal sobre este nuevo intervalo para capturar el área representativa de la barra de probabilidad discreta original.

# Plataformas computacionales y modelización avanzada

La era computacional ha transformado drásticamente la manera en que los profesionales interactúan con las variables aleatorias y las distribuciones de probabilidad. Los entornos modernos de computación estadística, tales como los lenguajes R y Python, y el software especializado como SPSS, poseen funciones integradas capaces de calcular densidades puntuales y probabilidades acumuladas de forma inmediata.

En el software SPSS, el cálculo se realiza mediante funciones como la CDF.BINOM y PDF.BINOM para la distribución binomial o CDF.POISSON y PDF.POISSON para el modelo de Poisson, devolviendo, respectivamente, las áreas acumuladas de la función de distribución y los valores de probabilidad puntual o de densidad. En el lenguaje de programación R, las distribuciones cuentan con una familia estandarizada de funciones prefijadas: la letra *d* antecede a la función para obtener la densidad (como *dnorm* o *dexp*), la letra *p* para la probabilidad acumulada (*pnorm*, *pexp*), la letra *q* para la función cuantil o inversa (*qnorm*), y la letra *r* para la generación de valores pseudoaleatorios (*rnorm*, *rexp*).

Adicionalmente, el análisis avanzado de datos ha impulsado el desarrollo de los modelos de mezcla. A diferencia de los modelos paramétricos tradicionales, que asumen que toda la población obedece a una única distribución, los modelos de mezcla permiten segmentar poblaciones heterogéneas, asumiendo que los datos provienen de una combinación de varias distribuciones de probabilidad independientes.

Por ejemplo, mediante el uso de paquetes especializados como flexmix en el entorno R, los científicos de datos pueden aplicar modelos de mezcla gaussianos (GMM) para el análisis bivariado de dimensiones físicas en humanos, modelos de mezcla de Bernoulli para el procesamiento de imágenes y reconocimiento de patrones en dígitos manuscritos, o modelos de mezcla de Poisson aplicados al análisis de criminalidad para agrupar clústeres geográficos con frecuencias atípicas de delitos en entornos urbanos.

La aplicación correcta y fundamentada de estos sistemas de software y algoritmos avanzados requiere una profunda comprensión teórica de las propiedades analíticas de las variables aleatorias. Las distribuciones de probabilidad han dejado de ser meras construcciones teóricas del cálculo matemático para convertirse en el núcleo operativo de la analítica predictiva y la inteligencia artificial en el mundo contemporáneo.

# **Capítulo 3**

## **Esperanza matemática distribuciones de probabilidad discreta: De los fundamentos axiomáticos a la ingeniería del riesgo**

El estudio de la probabilidad y la estadística ha evolucionado desde las consultas casuales sobre juegos de azar en la Europa del siglo XVII hasta convertirse en el lenguaje universal de la ciencia, la economía y la gestión de riesgos moderna. En el núcleo de esta disciplina se encuentra el concepto de esperanza matemática, una herramienta formal que permite traducir la incertidumbre en valores medios operativos. Este reporte analiza exhaustivamente la esperanza matemática de variables aleatorias discretas, examinando sus propiedades algebraicas, los momentos de orden superior y las distribuciones notables que modelan la realidad física y socioeconómica. A través de un enfoque técnico y riguroso, se explora cómo estos modelos permiten la toma de decisiones en entornos de información imperfecta.

### **Contexto histórico y evolución epistemológica del valor esperado**

La formalización de la esperanza matemática no fue un acontecimiento súbito, sino una transición gradual desde la intuición pragmática de los apostadores hacia el rigor del análisis matemático. Los orígenes se remontan a mediados del siglo XVII, específicamente a la famosa correspondencia de 1654 entre Blaise Pascal y Pierre de Fermat. Ambos matemáticos intentaban resolver el "problema de los puntos" o de la división de apuestas en un juego interrumpido, donde la pregunta central era cómo repartir el dinero de forma equitativa basándose en las probabilidades de victoria de cada jugador si el juego hubiese continuado. Pascal fue el primero en notar que un grado igual de probabilidad otorga un derecho igual a la suma esperada, sentando las bases de lo que hoy denominamos ventaja o esperanza matemática.

Sin embargo, el primer tratamiento sistemático publicado se debe a Christiaan Huygens en su obra *De Ratiociniis in Ludo Aleae* de 1657. Huygens definió la "expectativa" como el valor de una oportunidad de ganar algo, argumentando que este valor es equivalente a la suma que se obtendría con la misma oportunidad a un "precio justo". A mediados del siglo XIX, Pafnuty Chebyshev elevó el concepto a un nivel sistemático dentro de la teoría de variables aleatorias, mientras que el uso de la letra  $E$  para denotar el operador de valor esperado fue popularizado por W. A. Whitworth en 1901.

En la literatura rusa, es común encontrar la notación  $M(X)$ , mientras que en física se utilizan con frecuencia los corchetes angulares  $\langle X \rangle$ . Esta evolución refleja la transformación de la esperanza, desde una herramienta para el lucro en el juego hasta un operador lineal fundamental en el análisis estocástico.

# Definición técnica y requisitos de convergencia en el espacio discreto

En el marco del análisis probabilístico moderno, una variable aleatoria es un número asociado al resultado de un experimento aleatorio, formalizado como una función  $X : \Omega \rightarrow \mathbb{R}$  definida sobre un espacio de probabilidad  $(\Omega, \mathcal{A}, P)$ . Una variable se clasifica como discreta si el conjunto de valores que puede tomar, su imagen  $Im(X)$ , es finito o infinito numerable. La distribución de dicha variable se especifica mediante su función de masa de probabilidad  $P(X = x_i) = p_i$ , la cual debe satisfacer los axiomas de Kolmogorov:  $p_i \geq 0$  para todo  $i$  y  $\sum p_i = 1$ .

La esperanza matemática de una variable aleatoria discreta  $X$  se define como la media aritmética de los valores ponderados por sus probabilidades de ocurrencia. Si  $X$  toma valores en el conjunto  $\{x_1, x_2, \dots, x_k\}$ , la fórmula es:

$$E(X) = \mu = \sum_{i=1}^k x_i \cdot p_i$$

Es fundamental comprender que la esperanza representa la cantidad media que se "espera" obtener al repetir un experimento un número elevado de veces bajo condiciones constantes. No obstante, existe un requisito técnico esencial para la validez de este cálculo: la serie debe ser absolutamente convergente. Se dice que existe la esperanza de  $X$  si y sólo si:

$$\sum_{x \in E_X} |x| P(X = x) < +\infty$$

Si la serie no converge absolutamente, el valor esperado no está definido o puede ser infinito, como ocurre en la Paradoja de San Petersburgo. Dado que la convergencia absoluta implica la convergencia simple, la esperanza es siempre finita por definición. En casos donde la variable es no negativa ( $X \geq 0$ ), si la serie diverge, se puede asignar  $E(X) = +\infty$ . Si una variable aleatoria es acotada, es decir, existe una constante  $C$  tal que  $|x_n| \leq C$  para todo  $n$ , se garantiza que su esperanza existe. Esta distinción es vital para evitar errores en modelos actuariales o financieros, en los que las distribuciones de "cola pesada" pueden invalidar los promedios tradicionales.

## **El operador esperanza: propiedades algebraicas y linealidad**

La esperanza matemática no es solo un valor estático, sino un operador lineal que actúa sobre el espacio de las variables aleatorias integrables. Esta naturaleza lineal es la propiedad más poderosa del concepto, lo que permite manipular sistemas complejos mediante su descomposición en componentes simples.

### **Linealidad y transformaciones de escala**

Para cualquier par de variables aleatorias  $X$  e  $Y$  con esperanza finita y cualquier constante real  $\lambda$ , se cumplen las siguientes propiedades

fundamentales:

1. **Esperanza de una constante:**  $E[c] = c$ . Si un suceso ocurre con probabilidad 1, el valor esperado es el suceso mismo
2. **Linealidad respecto a la suma:**  $E[X + Y] = E[X] + E[Y]$ . Esta propiedad es notable porque no requiere que  $X$  e  $Y$  sean independientes; la esperanza de una suma es siempre la suma de las esperanzas
3. **Linealidad respecto al producto escalar:**  $E[\lambda X] = \lambda E[X]$ . El operador permite "sacar" las constantes fuera de la suma ponderada
4. **Transformación lineal afín:** Combinando las anteriores, se deduce que  $E[aX + b] = aE[X] + b$  y  $E[aX] = aE[X]$

Estas propiedades son la base de la estadística descriptiva e inferencial. Por ejemplo, si se desea calcular la esperanza de un cambio de moneda con comisión fija, basta con conocer la esperanza de la moneda original y aplicar la transformación lineal correspondiente.

## Esperanza de funciones y vectores aleatorios

La generalización de la esperanza a funciones de variables aleatorias se rige por la Ley del Estadístico Inconsciente. Si  $g : \mathbb{R} \rightarrow \mathbb{R}$  es una función continua y  $X$  es una variable discreta, la esperanza de la nueva variable  $Y = g(X)$  se calcula directamente sobre la distribución de  $X$ <sup>8</sup>:

$$E[g(X)] = \sum_x g(x)P(X = x)$$

Este teorema es fundamental para calcular momentos de orden superior o para valorar derivados financieros en los que el pago depende de una función del precio de un activo subyacente. Asimismo, para vectores aleatorios multidimensionales, la esperanza se define componente a componente:  $E[\mathbf{X}]_i = E[X_i]$ . En el caso del producto de dos variables aleatorias, la igualdad  $E = E[X]E$  solo se garantiza si  $X$  e  $Y$  son independientes.

## Propiedades de orden y desigualdades

El operador esperanza preserva la estructura de orden de los números reales:

- **No negatividad:** Si  $X \geq 0$  casi seguramente, entonces  $E[X] \geq 0$ .
- **Monotonicidad:** Si  $X \leq Y$ , entonces  $E[X] \leq E$ .
- **Acotación:** Si  $|X| \leq M$  para una constante  $M$ , entonces  $|E[X]| \leq M$ .
- **Desigualdad de Jensen (implícita):** Aunque no se detalla en los fragmentos, la relación entre  $|E[X]|$  y  $E[|X|]$  sugiere que  $|E[X]| \leq E[|X|]$ , lo cual es una consecuencia directa de la convexidad.

## Momentos de la distribución y medidas de dispersión

La esperanza matemática proporciona el "centro de gravedad" de la distribución, pero no describe la variabilidad ni la forma de los datos. Para completar el perfil analítico de una variable, se emplean los momentos

ordinarios y centrales (Fang & Pan, 2023).

## Varianza y desviación estándar

La varianza, denotada como  $Var(X)$ ,  $D^2(X)$  o  $\sigma^2$ , es el momento central del orden 2 y mide el grado de dispersión de los valores respecto a la media. Se define como:

$$Var(X) = E[(X - E[X])^2] = \sum (x_i - \mu)^2 p_i$$

Una propiedad computacional fundamental para el analista es la fórmula de la varianza en términos de los momentos respecto al origen:

$$Var(X) = E[X^2] - (E[X])^2$$

La varianza es siempre no negativa ( $Var(X) \geq 0$ ). Si  $Var(X) = 0$ , la variable es casi seguramente constante ( $P(X = c) = 1$ ). A diferencia de la esperanza, la varianza no es lineal bajo cambios de escala; se cumple que, lo que refleja que las constantes aditivas no afectan la dispersión, mientras que las multiplicativas lo hacen de forma cuadrática. Para restaurar la unidad de medida original de la variable, se emplea la desviación típica  $\sigma = \sqrt{Var(X)}$ .

## Asimetría y curtosis: la forma de la incertidumbre

Los momentos de orden superior permiten cuantificar la deformación horizontal y el apuntamiento de la distribución (véase la Tabla 4):

- **Coefficiente de Asimetría (Skewness):** Se basa en el tercer momento

central y mide si los datos se concentran a la izquierda o a la derecha de la media. Si  $g_1 > 0$ , la distribución es asimétrica positiva (cola a la derecha); si  $g_1 = 0$ , es simétrica.

- **Coefficiente de Curtosis (Kurtosis):** Basado en el momento central de orden 4, compara el "pico" de la distribución con el de la distribución normal. Una distribución leptocúrtica ( $g_2 > 0$ ) tiene un pico agudo y colas pesadas, lo que indica una mayor probabilidad de eventos extremos o atípicos en comparación con una distribución mesocúrtica (normal).

**Tabla 4: Medidas de forma de la incertidumbre**

Medida de forma	Orden del Momento	Función Analítica	Interpretación Práctica
Esperanza	1° (Origen)	Tendencia Central	Valor medio esperado a largo plazo
Varianza	2° (Central)	Dispersión	Nivel de riesgo o incertidumbre
Asimetría	3° (Central)	Deformación	Dirección de los

		Horizontal	valores extremos
Curtosis	4° (Central)	Apuntamiento	Frecuencia de "cisnes negros"

## Distribuciones de probabilidad discreta notables y sus propiedades

Ciertos procesos estocásticos se repiten con tal regularidad en la naturaleza que sus distribuciones han sido catalogadas y estudiadas exhaustivamente. Cada una posee una firma única de esperanza y varianza que dicta su comportamiento en sistemas complejos

### La distribución de Bernoulli: la unidad mínima de aleatoriedad

El ensayo de Bernoulli es la base de la probabilidad discreta. Modela un experimento con exactamente dos resultados: éxito (1) o fracaso (0) La variable indicadora de un evento  $I_A$  es, por definición, una variable de Bernoulli donde  $E[I_A] = P(A)$  (Korkmaz et al., 2023).

- **Función de Masa:**  $P(X = k) = p^k q^{1-k}$  para  $k \in \{0, 1\}$ .
- **Esperanza:**  $E[X] = p$ .

- **Varianza:**  $Var(X) = p \cdot q$ .
- **Aplicación:** Es el modelo básico para estudiar si un paciente responde a un tratamiento o si un producto es defectuoso.

## La distribución binomial: el poder de la agregación

La distribución binomial modela el número de éxitos en  $n$  ensayos de Bernoulli independientes. Se denota como  $X \sim B(n, p)$ . Su estudio histórico está ligado al tablero de Galton, que demuestra visualmente cómo la suma de pequeños impulsos aleatorios genera patrones predecibles (Vos, 2025):

- **Esperanza:**  $E[X] = np$ . Por linealidad, es la suma de las esperanzas de  $n$  variables de Bernoulli.
- **Varianza:**  $Var(X) = npq$ . La dispersión aumenta con  $n$  pero disminuye en términos relativos respecto a la media.
- **Propiedad de Aditividad:** Si  $X \sim B(n, p)$  e  $Y \sim B(m, p)$  son independientes, entonces  $X + Y \sim B(n + m, p)$ .

## La distribución de Poisson: la ley de los eventos raros

Propuesta por Siméon Denis Poisson, esta distribución modela el número de eventos que ocurren en un intervalo continuo de tiempo o espacio. Se caracteriza por el parámetro  $\lambda$ , que representa la tasa media de ocurrencia:

- **Identidad Media-Varianza:** Un rasgo único es que  $E[X] = Var(X) = \lambda$ .

- **Forma:** Siempre tiene asimetría positiva ( $1/\sqrt{\lambda}$ ), pero a medida que  $\lambda$  aumenta, se aproxima a la simetría de la distribución normal.
- **Aproximación:** Cuando  $n$  es grande y  $p$  es pequeño en una binomial, esta puede aproximarse por una Poisson con  $\lambda = np$ .

## La distribución hipergeométrica: muestreo sin reemplazo

A diferencia de la binomial, la hipergeométrica asume que los ensayos no son independientes, ya que el muestreo se realiza sin reemplazo a partir de una población finita (Harremoës, 2025). Es el modelo estándar para auditorías de calidad y encuestas electorales en poblaciones pequeñas

- **Esperanza:**  $E[X] = n \frac{N_A}{N}$ , donde  $N_A/N$  es la proporción inicial de éxitos en la población.
- **Varianza:**  $Var(X) = n \frac{N_A}{N} \frac{N-N_A}{N} \frac{N-n}{N-1}$ . El término  $\frac{N-n}{N-1}$  se conoce como factor de corrección de población finita; reduce la varianza a medida que la muestra  $n$  se acerca al tamaño total  $N$ .

## Aplicaciones de la esperanza matemática en la gestión de riesgos y seguros

La ciencia actuarial es la aplicación más sofisticada del concepto de esperanza matemática. En este dominio, la esperanza de pérdida se convierte en la base de la estabilidad financiera de las instituciones.

### Cálculo de la prima pura y recargos

En seguros generales, la prima pura es el valor esperado de la

indemnización que la compañía deberá pagar. Se calcula como el producto de la frecuencia (probabilidad) por la severidad (costo promedio del siniestro):

$$Prima Pura = E[X] = Frecuencia \times Severidad$$

Sin embargo, el precio final de la póliza (tarifa) incluye componentes adicionales para manejar la incertidumbre y los costos operativos:

1. **Prima de Riesgo:** Basada en la esperanza matemática para cubrir el costo medio de los siniestros.
2. **Gastos Fijos y Variables:** Adiciones lineales que reflejan costos de administración y comisiones.
3. **Margen de Beneficio y Contingencias:** Un recargo que protege a la aseguradora contra la varianza de la pérdida (eventos que superan la media esperada).

## Seguros de vida y pensiones

En los seguros de vida, la variable aleatoria es el tiempo hasta el fallecimiento. La esperanza de vida ( $e_x$ ) guía la estructuración de rentas y capitales diferidos. El cálculo de la prima única pura de un seguro de vida completa requiere ponderar el valor presente de la prestación por la probabilidad de muerte en cada año futuro. La función de pérdida de la aseguradora ( $L$ ) se define como la diferencia entre el valor presente de la prestación y el valor presente de las primas; un diseño robusto busca que  $E[L] = 0$  en el momento de la firma (principio de equivalencia actuarial).

# Esperanza matemática en finanzas y toma de decisiones corporativas

En los mercados financieros, el valor esperado actúa como el "precio justo" bajo condiciones de neutralidad al riesgo, sirviendo de base para modelos de valoración de activos.

## Valoración de activos y carteras

El rendimiento esperado de un activo financiero es el sumatorio de sus rendimientos posibles multiplicados por la probabilidad de ocurrencia de los escenarios económicos (crecimiento, recesión, estabilidad). En la teoría de carteras de Markowitz, los inversores buscan la "frontera eficiente", maximizando la esperanza de retorno para un nivel dado de varianza. El modelo de crédito moderno también emplea este concepto para calcular la Pérdida Esperada (EL):

$$EL = PD \times LGD \times EAD$$

Donde  $PD$  es la probabilidad de impago (esperanza de que ocurra el evento),  $LGD$  es la pérdida dado el impago y  $EAD$  es la exposición en el momento del evento. Este enfoque permite a los bancos provisionar capital de manera científica (Xie & Luo, 2022).

## Optimización de inventarios y logística

En la gestión empresarial, la esperanza matemática resuelve el dilema del inventario (problema del vendedor de periódicos). Las empresas calculan

la demanda esperada para minimizar el costo total esperado, el cual incluye tanto el costo de almacenamiento (exceso) como el costo de ruptura de stock (faltante) (Harremoës, 2025). Al analizar las frecuencias relativas de ventas pasadas, una empresa puede determinar que mantener 12 unidades en stock ofrece el costo esperado más bajo, incluso si la demanda exacta de mañana es desconocida.

## **Ética y psicología del valor esperado: Del "juego justo" al trading emocional**

La interpretación de la esperanza matemática influye profundamente en la conducta humana ante el riesgo. Un "juego justo" es aquel con esperanza cero, pero en la realidad, la mayoría de las apuestas (loterías, casinos) tienen una esperanza negativa para el participante.

### **La mentalidad de casino y el ratio riesgo/beneficio**

En el trading y los mercados financieros, la "tasa de acierto" es a menudo menos importante que la esperanza matemática positiva. Un trader con una tasa de acierto del 40% puede ser rentable si sus ganancias promedio son tres veces mayores que sus pérdidas promedio. La fórmula simplificada:

$$E = (\textit{Probabilidad de Ganar} \times \textit{Ganancia Media}) - (\textit{Probabilidad de Perder})$$

Adoptar una "mentalidad de casino" implica aceptar que las pérdidas individuales son parte del proceso, siempre que el sistema tenga una esperanza positiva a largo plazo. Esta perspectiva libera emocionalmente al decisor, permitiéndole ejecutar estrategias basadas en datos en lugar de

miedo o codicia.

## **La falacia del precio justo**

En las rifas o loterías, el "precio justo" de un boleto es exactamente su valor esperado. Si se venden un millón de boletos para un premio de un millón de euros, el precio justo es 1 euro. Cualquier precio por encima de este valor implica una transferencia de riesgo y riqueza al organizador, mientras que un precio inferior indicaría que el emisor asume un riesgo financiero innecesario.

La esperanza matemática y las distribuciones de probabilidad discreta constituyen la infraestructura lógica sobre la cual se construye el análisis de riesgos moderno. Desde la simplicidad binaria de Bernoulli hasta la complejidad temporal de Poisson y la precisión finita de la distribución hipergeométrica, estos modelos permiten capturar la esencia de fenómenos aleatorios diversos. Sin embargo, el analista experto sabe que la esperanza es solo el comienzo. La varianza determina la estabilidad de ese promedio, mientras que la asimetría y la curtosis revelan los peligros ocultos en las colas de la distribución (Harremoës, 2025).

La integración de estos conceptos en la ingeniería actuarial, la valoración financiera y la toma de decisiones corporativas ha transformado la sociedad, permitiendo la creación de sistemas de protección y crecimiento que operan de manera sostenible frente al azar. En última instancia, la esperanza matemática no predice el futuro, pero proporciona el único marco racional para prepararse para él, equilibrando las oportunidades de éxito con la severidad de los posibles fracasos.

# Capítulo 4

## Teoría y praxis de las distribuciones continuas de probabilidad en la ciencia de datos, la ingeniería y el análisis cuantitativo

El estudio de los fenómenos aleatorios ha evolucionado desde simples conteos de eventos discretos hasta la modelización de variables que abarcan un espectro continuo de posibilidades. En este contexto, las distribuciones de probabilidad continuas no solo representan una herramienta matemática, sino que constituyen el lenguaje fundamental para describir la realidad física, económica y biológica. A diferencia de las variables aleatorias discretas, que se limitan a valores específicos y contables, las variables aleatorias continuas pueden adoptar cualquier valor dentro de un intervalo o unión de intervalos en la recta real. Esta transición de lo discreto a lo continuo permite capturar la esencia de magnitudes como el tiempo, la masa, la temperatura y la distancia, donde la precisión no está limitada por la naturaleza del dato, sino por la capacidad del instrumento de medición.

### Fundamentos epistemológicos y matemáticos de la continuidad

La distinción entre lo discreto y lo continuo es más que una diferencia

técnica; es un cambio de paradigma en el análisis de la incertidumbre. Mientras que en el ámbito discreto se asignan probabilidades a puntos aislados, en el dominio continuo la probabilidad de que una variable adopte un valor exacto es matemáticamente nula. Esto se debe a que, en un intervalo continuo, hay un número infinito de posibles resultados, lo que diluye la masa de probabilidad de cualquier punto individual hasta su desaparición. En consecuencia, el análisis se desplaza hacia la probabilidad de que la variable caiga dentro de un rango determinado, la cual se resuelve mediante el cálculo integral.

El andamiaje de este sistema descansa sobre la Función de Densidad de Probabilidad (PDF), denotada generalmente como  $f(x)$ . Esta función no devuelve una probabilidad directa, sino una medida de la densidad de probabilidad en un punto dado. Para obtener una probabilidad con sentido físico, es necesario integrar la PDF sobre un intervalo  $[a, b]$ , lo que geométricamente representa el área bajo la curva de la distribución. Una PDF legítima debe cumplir con axiomas estrictos: ser siempre no negativa ( $f(x) \geq 0$ ) y asegurar que su integral total sobre todo el espacio muestral sea igual a la unidad ( $\int_{-\infty}^{\infty} f(x)dx = 1$ ), garantizando así la coherencia del sistema probabilístico.

Complementariamente, la Función de Distribución Acumulativa (CDF), representada como  $F(x)$ , cuantifica la probabilidad de que la variable aleatoria  $X$  sea menor o igual a un valor crítico  $x$ . La relación entre la PDF y la CDF es el Teorema Fundamental del Cálculo aplicado a la estadística: la PDF es la derivada de la CDF, y la CDF es la integral de la PDF. Esta dualidad

permite a los analistas alternar entre la visión local de la densidad y la visión acumulativa de la probabilidad, lo que facilita la toma de decisiones en entornos de riesgo.

## Estadísticos de centralidad y dispersión en el espectro continuo

La caracterización de cualquier distribución continua requiere identificar sus momentos estadísticos, que resumen el comportamiento global de la población. La esperanza matemática o media,  $E[X]$ , representa el centro de gravedad de la distribución, el valor esperado tras una serie infinita de observaciones. Por otro lado, la varianza,  $Var(X)$ , y su derivada, la desviación estándar ( $\sigma$ ), miden la dispersión de los datos respecto al centro (Harremoës, 2025). Estos indicadores son cruciales para determinar la estabilidad de un proceso; en ingeniería, una varianza elevada indica una falta de control o una alta incertidumbre en la medición, mientras que en finanzas representa el riesgo de mercado (véase la Tabla 5).

**Tabla 5: Indicadores estadísticos para determinar la estabilidad de un proceso**

Estadístico	Definición Matemática	Aplicación Profesional
Esperanza ( $E[X]$ )	$\int_{-\infty}^{\infty} x f(x) dx$	Estimación del rendimiento esperado o valor central del

		proceso.
Varianza ( $Var(X)$ )	$\int_{-\infty}^{\infty} (x - E[X])^2 f(x) dx$	Cuantificación de la incertidumbre y el error cuadrático medio.
Desviación Estándar ( $\sigma$ )	$\sqrt{Var(X)}$	Evaluación de la dispersión en las unidades originales de la variable.
Cuantil ( $q_p$ )	$F(q_p) = p$	Determinación de umbrales críticos y de niveles de riesgo (VaR).

## La distribución normal: la arquitectura de la variabilidad natural

La distribución normal, también conocida como distribución gaussiana, es el pilar sobre el cual se construye la estadística moderna. Su omnipresencia en la naturaleza y la industria no es producto del azar, sino de leyes

matemáticas fundamentales. La curva normal se caracteriza por su simetría perfecta alrededor de la media, donde la mediana y la moda coinciden, lo que da lugar a la icónica forma de campana. Esta distribución es mesocúrtica, con una curtosis de 3, y su asimetría es nula, lo que implica que las desviaciones positivas y negativas respecto al centro son igualmente probables

## **El Teorema Central del Límite y su trascendencia**

La verdadera potencia de la distribución normal radica en el Teorema Central del Límite (TCL). Este postulado establece que la suma o el promedio de un gran número de variables aleatorias independientes e idénticamente distribuidas tenderá a seguir una distribución normal, independientemente de la forma de la distribución original. Este fenómeno explica por qué tantas mediciones complejas —desde los errores de los sensores de temperatura en una planta química hasta la altura de una población biológica— convergen en torno a la campana de Gauss. Para el científico de datos, el TCL es el salvoconducto que permite aplicar pruebas paramétricas incluso cuando los datos primarios muestran irregularidades, siempre que el tamaño de la muestra sea suficientemente grande (generalmente  $n \geq 30$ ).

## **Estandarización y la métrica de puntuación Z**

Dada la infinita variedad de medias y desviaciones estándar posibles, la comparación de diferentes conjuntos de datos normales requiere una escala universal. La transformación de una variable aleatoria  $X \sim N(\mu, \sigma)$  a una variable normal estándar  $Z \sim N(0, 1)$  se logra mediante el proceso de tipificación o estandarización. La fórmula de transformación:

$$Z = \frac{x - \mu}{\sigma}$$

Permite expresar cualquier valor en términos de cuántas desviaciones estándar se aleja de la media. Esta técnica es vital en el control de calidad, donde se establecen límites de tolerancia basados en la puntuación Z, y en la ciencia de datos, para normalizar características en modelos de aprendizaje automático y asegurar que todas las variables tengan el mismo peso relativo.

## **La regla empírica y la gestión de intervalos de confianza**

La distribución normal ofrece una predictibilidad excepcional sobre la ubicación de los datos, resumida en la regla 68-95-99. Esta ley establece que aproximadamente el 68% de los datos se encuentran dentro de una desviación estándar de la media, el 95% dentro de dos, y el 99,4% dentro de tres (Seijas et al., 2020). Sin embargo, no todos los fenómenos se agrupan en el centro. En ingeniería de sistemas y logística, la atención se desplaza hacia distribuciones que modelan la incertidumbre total o el tiempo entre eventos.

## **Distribución Uniforme: La base de la simulación**

La distribución uniforme continua, o rectangular, describe escenarios en los que todos los intervalos de igual longitud dentro de un rango tienen la misma probabilidad. Su función de densidad es una constante  $f(x) = 1/(b - a)$  (Montes et al., 2024). Aunque su simplicidad pueda parecer trivial, es el motor oculto de la computación moderna. La mayoría de los generadores de números aleatorios en lenguajes como R, Python o MATLAB producen inicialmente valores uniformes en el intervalo, que luego se transforman mediante el método de inversión para generar cualquier otra

distribución compleja. En la industria, se emplea para modelar errores de redondeo y situaciones en las que el conocimiento del parámetro es nulo fuera de sus límites físicos.

## **Distribución Exponencial: Tiempos de vida y falta de memoria**

La distribución exponencial es la herramienta predilecta para modelar el tiempo transcurrido entre eventos de un proceso de Poisson, como la llegada de pacientes a una sala de urgencias o la desintegración de partículas atómicas. Su PDF está gobernada por el parámetro de tasa  $\lambda$ , que representa la frecuencia media de los eventos.

La propiedad más fascinante y, a la vez, limitante de la distribución exponencial es la "falta de memoria" o propiedad amnésica. Matemáticamente, esto se expresa como  $P(X > s + t | X > t) = P(X > s)$ , lo que implica que la probabilidad de que un evento ocurra en el futuro no depende de cuánto tiempo haya transcurrido ya. Esta característica la hace ideal para modelar fallos puramente aleatorios en componentes electrónicos, pero inadecuada para sistemas sujetos a desgaste mecánico o fatiga, donde la probabilidad de fallo aumenta necesariamente con el uso.

## **Distribuciones de contraste y su papel en la inferencia científica**

En la investigación aplicada, el científico no suele observar la población completa, sino pequeñas muestras. Esto introduce una variabilidad adicional

que requiere distribuciones específicas para construir intervalos de confianza y realizar pruebas de hipótesis.

## **Distribución t de Student: Precisión en muestras pequeñas**

La distribución t de Student es fundamental cuando se desconoce la desviación estándar poblacional y el tamaño de la muestra es pequeño ( $n < 30$ ) (Liang, et al., 2022). Descubierta por William Gosset mientras trabajaba en la cervecera Guinness, esta distribución es simétrica como la normal, pero presenta colas más pesadas (leptocúrtica). Estas colas reflejan la incertidumbre adicional que implica estimar la desviación estándar a partir de la muestra. A medida que aumentan los grados de libertad ( $n - 1$ ), la distribución t converge hacia la normal estándar, demostrando que con más datos la estimación de la muestra se vuelve indistinguible de la realidad poblacional.

## **Distribución Chi-Cuadrado y el análisis de varianzas**

La distribución chi-cuadrado ( $\chi^2$ ) surge de la suma de cuadrados de variables normales estándar independientes. A diferencia de las anteriores, sólo toma valores positivos y es asimétrica a la derecha. Su importancia en la inferencia estadística radica en su capacidad para modelar la varianza muestral y realizar pruebas de asociación categórica (Lugo & Pino, 2021). Las pruebas de independencia de Pearson utilizan esta distribución para determinar si dos factores, como el tratamiento médico y la recuperación del paciente, están relacionados entre sí o si su coincidencia se debe puramente al azar.

## Distribución F de Fisher-Snedecor y el ANOVA

El cociente de dos variables chi-cuadrado independientes, ajustadas por sus respectivos grados de libertad, sigue una distribución F. Esta distribución es la base del Análisis de Varianza (ANOVA), una técnica estadística que permite comparar las medias de múltiples grupos simultáneamente. En la ciencia de datos, el estadístico F es crucial para evaluar la significación global de un modelo de regresión lineal múltiple, determinando si al menos uno de los predictores incluidos tiene un efecto real sobre la variable de respuesta (Korkmaz et al., 2023).

## Ingeniería financiera y la gestión probabilística del riesgo

La aplicación de distribuciones continuas en el sector financiero ha transformado la gestión del capital de una práctica intuitiva a una disciplina cuantitativa rigurosa. El marco del Valor en Riesgo (VaR) es el ejemplo más destacado de esta integración.

### Metodologías de cálculo del VaR y asunciones distributivas

El VaR busca cuantificar la pérdida máxima esperada en un portafolio bajo condiciones normales de mercado. La elección de la distribución subyacente es el factor determinante de la precisión del modelo:

1. **VaR Paramétrico (Varianza-Covarianza):** Se fundamenta en la hipótesis de normalidad de los rendimientos financieros. Su ventaja es la simplicidad analítica, pero suele fallar en momentos de crisis debido a que las distribuciones financieras reales presentan "colas pesadas" o

curtosis excesiva, lo que significa que los eventos extremos ocurren con más frecuencia de lo que predice la campana de Gauss.

2. **Simulación de Monte Carlo:** Utiliza distribuciones empíricas o teóricas (como la  $t$  de Student o la Log-normal) para generar miles de trayectorias posibles para los precios de los activos (Liang, et al., 2022). Es la metodología más robusta para carteras con instrumentos complejos como derivados financieros.
3. **Teoría del Valor Extremo (EVT):** En lugar de modelar toda la distribución, se enfoca exclusivamente en el comportamiento de las colas, permitiendo estimar la probabilidad de "cisnes negros" o colapsos sistémicos.

## **Distribuciones continuas en el ecosistema de la ciencia de datos**

En el análisis de datos moderno, las distribuciones no son solo conceptos teóricos, sino también requisitos operativos para la validez de los algoritmos de aprendizaje automático.

### **Supuestos de normalidad en modelos de regresión**

La regresión lineal, a pesar de su aparente simplicidad, se basa en supuestos distributivos estrictos que el analista debe validar para asegurar la eficiencia de los estimadores. La normalidad de los residuos es lo más crítico: si los errores no se distribuyen normalmente alrededor de cero, las inferencias sobre la significación de las variables y las predicciones resultantes carecerán de fiabilidad (Korkmaz et al., 2023). Además, la homocedasticidad exige que la varianza de estos residuos sea constante; si la varianza cambia con el valor

de la variable independiente (heterocedasticidad), el modelo puede ser excesivamente optimista en ciertos rangos de los datos.

## **Detección de anomalías y preprocesamiento**

La detección de outliers es otra aplicación directa de las distribuciones continuas. Al identificar puntos que se sitúan a más de tres desviaciones estándar de la media en una distribución normal, los científicos de datos pueden depurar conjuntos de datos de errores de entrada o descubrir fraudes financieros en tiempo real (Seijas et al., 2020). Asimismo, técnicas como el escalado Mín-Máx (basado en la distribución uniforme) o la estandarización Z-score (basada en la normal) son pasos obligatorios antes de entrenar algoritmos de agrupamiento (K-means) o redes neuronales, para evitar que variables con escalas grandes dominen injustamente el modelo.

## **Implementación computacional y herramientas de software**

La transición de la teoría a la práctica se materializa mediante potentes librerías estadísticas. En el ecosistema de R, las funciones siguen una nomenclatura estandarizada: d- para la densidad, p- para la probabilidad acumulada, q- para los cuantiles y r- para la generación de números aleatorios (véase la Tabla 6).

**Tabla 6: Distribuciones de probabilidad**

<b>Distribución</b>	<b>Función en R</b>	<b>Función en SPSS</b>	<b>Comando en MATLAB</b>
Normal	norm(mean, sd)	CDF.NORMAL	normcdf
t-Student	t(df)	CDF.T	tcdf
Chi-Cuadrado	chisq(df)	CDF.CHISQ	chi2cdf
Exponencial	exp(lambda)	CDF.EXP	expcdf
Uniforme	unif(min, max)	RV.UNIFORM	unifcdf

Esta capacidad de cómputo permite no sólo resolver ecuaciones cerradas, sino también realizar simulaciones de gran escala, como el análisis de sensibilidad en ingeniería química o la valoración de opciones financieras mediante el modelo de Black-Scholes, donde las distribuciones lognormales

juegan un papel estelar

## **Síntesis y proyecciones futuras**

El estudio de las distribuciones de probabilidad continuas ha dejado de ser una rama aislada de las matemáticas para convertirse en el núcleo de la toma de decisiones basada en evidencia. La capacidad de modelar la continuidad permite a las organizaciones no solo reaccionar al pasado, sino también anticipar el futuro con una precisión estadística cuantificable (Evans, 2024).

En el futuro, la integración de distribuciones no paramétricas y de técnicas de estimación de densidad de kernel (KDE) promete flexibilizar aún más la modelización de fenómenos complejos que no se ajustan a las formas clásicas. No obstante, las distribuciones fundamentales aquí analizadas — normal, t de Student, exponencial y Chi-Cuadrado— seguirán siendo el estándar de oro para la comunicación científica y la validación de modelos en un mundo que, a pesar de sus aparentes saltos, fluye de manera continua bajo las leyes de la probabilidad (Lugo & Pino, 2021).

# Capítulo 5

## Análisis matemático de las funciones de varias variables

El análisis de las funciones de varias variables constituye el núcleo del cálculo avanzado y representa una herramienta indispensable para la modelización de fenómenos complejos en el mundo contemporáneo. Mientras que el cálculo de una sola variable se limita a describir relaciones lineales o curvilíneas en un plano, la introducción de múltiples dimensiones permite capturar la realidad de sistemas en los que diversos factores actúan de manera simultánea e interdependiente.

Desde la determinación de la sensación térmica en función de la temperatura y la velocidad del viento, hasta el cálculo de la rentabilidad de una empresa sujeta a múltiples costos operativos, las funciones multivariantes proporcionan el lenguaje formal necesario para la precisión analítica. Este reporte ofrece un examen exhaustivo de los fundamentos teóricos, los mecanismos de diferenciación e integración, y las aplicaciones críticas de estas funciones en física, ingeniería y economía.

### Fundamentos Topológicos y Definiciones Conceptuales

Una función de varias variables es una correspondencia matemática  $f : D \subset \mathbb{R}^n \rightarrow \mathbb{R}^m$  que asigna a cada punto  $X$  dentro de un dominio  $D$

un único punto  $Y$  en el espacio  $\mathbb{R}^m$ . Cuando el espacio de llegada es la recta real ( $m = 1$ ), la función se denomina campo escalar, que proporciona un valor numérico como salida; por el contrario, si , se trata de un campo vectorial, que devuelve un vector de múltiples componentes. La comprensión de estos campos requiere una base sólida en la geometría del espacio  $\mathbb{R}^n$  y en la topología de conjuntos abiertos y cerrados.

En el contexto de dos variables, una función real  $z = f(x, y)$  mapea pares ordenados  $(x, y)$  de un subconjunto  $D$  del plano real  $\mathbb{R}^2$  a un número real único  $z$ . Aquí,  $x$  y  $y$  actúan como variables independientes, mientras que  $z$  representa la variable dependiente. El dominio  $D$  es el conjunto de todos los puntos de entrada posibles para los cuales la regla de correspondencia tiene sentido matemático y económico, evitando indefiniciones como divisiones por cero o raíces de números negativos (Walpole et al., 2012).

La determinación del dominio implícito es una tarea crítica que exige considerar todas las restricciones analíticas. Por ejemplo, en una función logarítmica como  $g(x, y) = \ln(x \cdot y)$ , el dominio se restringe a los cuadrantes donde el producto de  $x$  y  $y$  es estrictamente positivo, es decir, el primer y tercer cuadrante del plano cartesiano. Del mismo modo, una función radical como  $f(x, y) = \sqrt{16 - 4x^2 - y^2}$  define un dominio que consiste en todos los puntos dentro y sobre la elipse  $4x^2 + y^2 = 16$ . Estos límites geográficos en el dominio constituyen la base para el estudio posterior de la continuidad y la optimización.

# Representación Visual: Superficies y Mapas de Contorno

La visualización de funciones de dos variables se logra mediante la representación de superficies en el espacio tridimensional. El conjunto de todos los puntos  $(x, y, z)$  tales que  $z = f(x, y)$  conforma el grafo de la función, el cual se interpreta geoméricamente como una superficie cuya proyección sobre el plano  $xy$  es el dominio  $D$ .

## El rol de las trazas y las superficies cuádricas

Para analizar la forma de una superficie compleja, los matemáticos utilizan las trazas, que son las curvas de intersección de la superficie con planos paralelos a los planos coordenados. Por ejemplo, en el caso del paraboloides circular  $z = x^2 + y^2$ , las trazas en los planos verticales  $x = 0$  y  $y = 0$  son parábolas, mientras que las trazas en planos horizontales  $z = k$  (donde  $k > 0$ ) son círculos (Walpole et al., 2012). Estas estructuras son fundamentales en ingeniería civil y arquitectura para el diseño de cúpulas y estructuras de soporte.

Las superficies de nivel representan una generalización crucial para funciones de tres o más variables. Dada una función  $w = f(x, y, z)$ , una superficie de nivel para una constante  $c$  es el conjunto de puntos  $(x, y, z)$  que satisfacen  $f(x, y, z) = c$ . Un ejemplo común en física es la superficie equipotencial en un campo eléctrico o gravitatorio, donde todos los puntos de

la superficie tienen el mismo potencial.

## Curvas de Nivel y Mapas Topográficos

En dos variables, las curvas de nivel  $f(x, y) = c$  permiten aplanar una superficie tridimensional en un plano bidimensional, facilitando su interpretación técnica. Dependiendo de la disciplina, estas curvas reciben nombres específicos:

- **Isotermas:** Líneas de temperatura constante en meteorología o termodinámica.
- **Isobaras:** Líneas de presión atmosférica constante.
- **Isocuantas:** En economía, combinaciones de insumos (capital y trabajo) que generan el mismo nivel de producción.
- **Curvas de Indiferencia:** En la teoría del consumidor, conjuntos de canastas de bienes que proporcionan la misma utilidad.

La densidad de las curvas de nivel en un mapa de contorno proporciona información inmediata sobre la pendiente de la superficie: curvas muy juntas indican un cambio abrupto (pendiente pronunciada), mientras que curvas espaciadas sugieren una variación suave.

## Dinámica de Límites y Continuidad en Varias Variables

El concepto de límite es el fundamento del cálculo, pero su aplicación a variables múltiples introduce desafíos que no existen en el cálculo monovariante. Mientras que en una variable sólo podemos acercarnos a un

punto desde dos direcciones, en el plano o en el espacio existen infinitas trayectorias (rectas, parábolas, cubos, etc.) para aproximarse a un punto  $(a, b)$ .

## La Definición Formal Épsilon-Delta

Para que el límite de  $f(x, y)$  cuando  $(x, y)$  tiende a  $(a, b)$  sea  $L$ , el valor de la función debe acercarse a  $L$  arbitrariamente para cualquier punto dentro de un disco de radio  $\delta$  centrado en  $(a, b)$ . Formalmente:

$$\lim_{(x,y) \rightarrow (a,b)} f(x, y) = L \iff \forall \epsilon > 0, \exists \delta > 0 \mid 0 < \sqrt{(x-a)^2 + (y-b)^2} < \delta \implies$$

Esta definición rigurosa asegura que la aproximación es independiente de la dirección. Si el valor del límite varía según la trayectoria elegida (por ejemplo, si obtenemos un valor diferente al acercarnos por el eje  $x$  que al hacerlo por la recta  $y = x$ ), entonces se concluye con certeza que el límite no existe.

## Criterios de Continuidad

La continuidad en un punto  $(a, b)$  requiere que la función esté definida en dicho punto, que el límite exista y que ambos valores coincidan:  $\lim_{(x,y) \rightarrow (a,b)} f(x, y) = f(a, b)$ . La mayoría de las funciones que modelan procesos físicos naturales son continuas en sus dominios, pero existen excepciones críticas en sistemas de control y de señales, donde las discontinuidades representan saltos abruptos o estados de error. Es

importante notar que la existencia de derivadas parciales no garantiza la continuidad de una función, lo cual constituye una diferencia notable respecto del cálculo de una variable, donde la derivabilidad implica continuidad.

## El Cálculo Diferencial: Derivadas Parciales y el Vector Gradiente

La diferenciación en varias variables se descompone inicialmente en derivadas parciales, que miden la tasa de cambio de la función con respecto a una sola variable mientras se mantienen las demás fijas.

### Interpretación Geométrica y Mecánica

Si consideramos una superficie  $z = f(x, y)$ , la derivada parcial respecto a  $x$ , denotada como  $f_x$  o  $\frac{\partial z}{\partial x}$ , representa la pendiente de la recta tangente a la superficie en la dirección del eje  $x$ . Este concepto se extiende naturalmente a  $n$  variables, donde una función tiene  $n$  derivadas parciales de primer orden. En ingeniería mecánica, estas derivadas pueden representar la variación de la deformación de un material en diferentes direcciones bajo una carga externa.

### El vector gradiente y su potencial analítico

El vector gradiente,  $\nabla f(x, y) = (f_x, f_y)$ , es uno de los operadores más potentes del cálculo multivariable. Su importancia radica en tres propiedades fundamentales documentadas en la literatura técnica:

1. **Dirección de Máximo Crecimiento:** El gradiente indica la dirección en la

que la función aumenta más rápidamente.

2. **Magnitud del Cambio:** La norma del gradiente  $\|\nabla f\|$  da el valor de la tasa máxima de crecimiento,
3. **Ortogonalidad:** El vector gradiente en un punto es perpendicular a la curva de nivel que pasa por ese punto.

Esta última propiedad es esencial para encontrar planos tangentes a superficies y para algoritmos de optimización, como el descenso de gradiente, ampliamente utilizado en el entrenamiento de redes neuronales y el aprendizaje automático.

## Derivadas de orden superior y la matriz hessiana

Las derivadas parciales de segundo orden proporcionan información sobre la concavidad y la curvatura de la superficie. Existen cuatro derivadas de segundo orden para una función de dos variables: las derivadas parciales  $f_{xx}$  y  $f_{yy}$ , y las derivadas parciales mixtas o cruzadas  $f_{xy}$  y  $f_{yx}$ .

### El teorema de Clairaut y simetría

Bajo condiciones de continuidad (Teorema de Clairaut o Lema de Schwarz), las derivadas mixtas son iguales:  $f_{xy} = f_{yx}$ . Esta simetría reduce la complejidad computacional en los modelos de dinámica de fluidos y de transferencia de calor (Li et al., 2022).

### Aplicaciones de la matriz hessiana

La matriz hessiana organiza estas segundas derivadas en una estructura cuadrada que actúa como la "segunda derivada total" de la función

$$H_f = \begin{bmatrix} f_{xx} & f_{xy} \\ f_{yx} & f_{yy} \end{bmatrix}$$

El determinante de esta matriz es crucial para clasificar los puntos críticos. En el estudio de estabilidad de estructuras, la matriz hessiana permite determinar si un punto de equilibrio es estable (mínimo de energía), inestable (máximo) o un punto de silla:

Valor del Determinante	$ H $	Signo de	$f_{xx}$	Clasificación del Punto Crítico
:---   :---   :---	$ H  > 0$		$f_{xx} > 0$	Mínimo local relativo
	$f_{xx} < 0$		Máximo local relativo	
	$ H  < 0$		Cualquier signo	Punto de silla (ensilladura)
	$ H  = 0$		Cualquier signo	Criterio no concluyente  .

## Regla de la Cadena y Diferenciación Implícita

La regla de la cadena para funciones multivariables permite calcular la tasa de cambio de una función compuesta, donde las variables independientes dependen a su vez de otras variables intermedias

### Diagramas de Árbol y Variables Intermedias

Para evitar errores en la derivación, se utilizan diagramas de árbol que muestran las dependencias. Si  $z = f(x, y)$  y ambas variables dependen de un parámetro  $t$  ( $x(t), y(t)$ ), la derivada total es:

$$\frac{dz}{dt} = \frac{\partial z}{\partial x} \frac{dx}{dt} + \frac{\partial z}{\partial y} \frac{dy}{dt}$$

Esta estructura es fundamental en física para calcular la velocidad de una partícula que se mueve sobre una superficie curva o la variación de la presión de un gas en un contenedor cuyo volumen y su temperatura cambian simultáneamente. En casos más complejos, como cuando  $x$  y  $y$  dependen de dos variables  $u$  y  $v$ , la regla se generaliza para obtener derivadas parciales compuestas  $\frac{\partial z}{\partial u}$  y  $\frac{\partial z}{\partial v}$  (Valdivia & Parraguez, 2015).

## Aplicación en Funciones Implícitas

El cálculo multivariable simplifica la derivación de ecuaciones en las que no es posible despejar una variable en términos de las demás (funciones implícitas). Para una ecuación  $F(x, y) = 0$ , la derivada  $\frac{dy}{dx}$  se obtiene mediante la relación:

$$\frac{dy}{dx} = -\frac{F_x}{F_y}$$

Este resultado se extiende a tres dimensiones para determinar las pendientes de superficies definidas por ecuaciones de nivel  $F(x, y, z) = 0$ , lo cual es vital en el diseño de componentes mecánicos con geometrías complejas.

## Optimización Condicionada: El Método de los Multiplicadores de Lagrange

En la práctica profesional, los problemas de optimización rara vez son libres; suelen estar sujetos a restricciones físicas, presupuestarias o técnicas. El método de los multiplicadores de Lagrange proporciona un marco elegante para maximizar o minimizar una función objetivo  $f(x, y, \dots)$  sujeta a una restricción  $g(x, y, \dots) = c$ .

## El Lagrangiano y el Significado de Lambda

El procedimiento consiste en construir la función Lagrangiana  $L = f - \lambda(g - c)$  e igualar su gradiente a cero. Esto equivale a encontrar los puntos en los que los vectores gradiente de  $f$  y  $g$  son paralelos ( $\nabla f = \lambda \nabla g$ ). El parámetro  $\lambda$  no es solo un artificio matemático; en economía, representa el "precio sombra" o la tasa de cambio del valor óptimo de la función objetivo ante una relajación infinitesimal de la restricción.

## Aplicaciones en la Gestión de la Producción

Considérese una planta industrial que busca maximizar su ingreso  $R(h, s)$  basado en horas de mano de obra ( $h$ ) y toneladas de acero ( $s$ ), pero está limitada por un presupuesto fijo de \$20,000. Aplicando Lagrange, la gerencia puede determinar la combinación exacta de recursos que garantiza el mayor ingreso posible, optimizando el uso de capital y trabajo de acuerdo con sus costos específicos (\$20/h y \$170/t respectivamente). Este enfoque es la base del análisis de eficiencia en microeconomía y administración de operaciones.

# Integración Múltiple: Volumen, Masa y Centros de Gravedad

La integración múltiple extiende el concepto de área bajo una curva al cálculo de volúmenes bajo superficies y masas de sólidos tridimensionales.

## Integrales Dobles y el Teorema de Fubini

La integral doble  $\iint_R f(x, y) dA$  representa el volumen del sólido delimitado superiormente por la superficie  $z = f(x, y)$  y cuya base es la región  $R$  en el plano  $xy$ . El cálculo se realiza mediante integrales iteradas, donde el Teorema de Fubini garantiza que el orden de integración (primero  $x$ , luego  $y$ , o viceversa) es irrelevante siempre que la función sea continua sobre una región rectangular. Para regiones más complejas (Tipo I y Tipo II), los límites de integración deben definirse cuidadosamente como funciones de las variables, lo que requiere un análisis gráfico previo del recinto de integración.

## Propiedades Físicas: Masa y Momentos

En ingeniería y física, las integrales dobles y triples son esenciales para determinar las propiedades mecánicas de objetos no homogéneos, donde la densidad  $\delta(x, y, z)$  varía de un punto a otro (Walpole et al., 2012):

- **Masa Total ( $m$ ):** Es la integral de la función de densidad sobre el volumen o área del objeto.
- **Momentos Estáticos ( $M_x, M_y$ ):** Permiten ubicar el centro de masa

$(\bar{x}, \bar{y})$  dividiendo los momentos entre la masa total.

- **Momento de Inercia ( $I$ ):** Cuantifica la resistencia de un cuerpo a la rotación. Es una cantidad crítica en el diseño aeroespacial y automotriz para garantizar la estabilidad y el control del movimiento.

## Transformaciones y Sistemas de Coordenadas

Muchos problemas de integración presentan simetrías (circulares, cilíndricas o esféricas) que hacen ineficiente el uso de las coordenadas cartesianas. El cambio de variables permite simplificar radicalmente los límites de integración y la propia función.

### Coordenadas Polares y Cilíndricas

En el plano, las coordenadas polares  $(r, \theta)$  sustituyen a  $(x, y)$  mediante  $x = r \cos \theta$  y  $y = r \sin \theta$ . Al realizar este cambio, el diferencial de área  $dA$  debe multiplicarse por el Jacobiano  $r$  ( $dA = r dr d\theta$ ). Las coordenadas cilíndricas extienden este concepto al espacio añadiendo la altura  $z$ , siendo ideales para modelar cables, tuberías y motores de combustión interna.

### Coordenadas Esféricas y el Jacobiano

Para sólidos con simetría radial (como planetas o átomos), se utilizan las coordenadas esféricas  $(\rho, \theta, \phi)$ . El jacobiano de esta transformación es  $\rho^2 \sin \phi$ , lo que convierte el diferencial de volumen en  $dV = \rho^2 \sin \phi d\rho d\theta d\phi$ . Este sistema es fundamental en astrofísica y

mecánica cuántica para resolver ecuaciones que describen la distribución de la masa y la energía en el espacio. Un ejemplo clásico es el cálculo de la masa de una esfera cuya densidad varía con el cuadrado de la distancia al centro, tarea que sería extremadamente compleja en coordenadas rectangulares, pero que se vuelve trivial en coordenadas esféricas.

## **Aplicaciones Transdisciplinarias de las Funciones Multivariantes**

El cálculo de varias variables no es solo una rama de la matemática pura, sino el andamiaje sobre el cual se construyen las teorías más exitosas de la ciencia y la economía.

### **Termodinámica y Meteorología**

Las variables de estado de un gas (presión, volumen, temperatura) están relacionadas entre sí mediante funciones de varias variables. La ley de los gases ideales  $P(V, T) = \frac{nRT}{V}$  permite a los químicos e ingenieros de procesos predecir el comportamiento de sistemas cerrados. En meteorología, los campos de presión y temperatura se analizan mediante gradientes para predecir la dirección y la velocidad del viento, ya que el aire tiende a moverse desde zonas de alta presión hacia zonas de baja presión en la dirección del gradiente de presión negativo.

### **Electromagnetismo y Ecuaciones de Maxwell**

El comportamiento de los campos eléctricos y magnéticos se describe mediante un conjunto de ecuaciones diferenciales parciales que involucran

operadores multivariables como la divergencia y el rotacional. Estas funciones permiten a los ingenieros eléctricos diseñar desde microchips hasta grandes redes de distribución de energía, modelando cómo el flujo de electrones se ve afectado por la geometría de los conductores y las propiedades del medio circundante.

## **Teoría Económica: El Enfoque Marginalista**

En economía, el concepto de marginalidad es sinónimo de la derivada parcial. La productividad marginal de un factor mide el incremento de la producción total al añadir una unidad de dicho factor, manteniendo constantes los demás factores. La función de producción Cobb-Douglas  $Y = AK^\alpha L^\beta$  es el estándar para modelar el crecimiento económico, donde los exponentes  $\alpha$  y  $\beta$  representan las elasticidades de producción del capital y del trabajo, respectivamente. Asimismo, el concepto de utilidad marginal decreciente explica por qué los consumidores diversifican su consumo, un fenómeno que se modela mediante la curvatura de las superficies de utilidad en el espacio de bienes.

## **Síntesis y Relevancia en la Era de la Computación**

La evolución del cálculo multivariable ha pasado de las derivaciones manuales a la implementación de algoritmos de alta complejidad. En la actualidad, el análisis de funciones de miles o millones de variables es la norma en campos como la inteligencia artificial y el Big Data. El algoritmo de "Backpropagation", esencial para el entrenamiento de redes neuronales, es

una aplicación masiva de la regla de la cadena multivariable. Del mismo modo, el diseño de infraestructuras críticas en ingeniería civil utiliza el análisis de elementos finitos, un método numérico que descompone superficies y volúmenes continuos en miles de funciones multivariadas simples para simular la respuesta ante terremotos o cargas extremas.

En síntesis, las funciones de varias variables proporcionan el marco conceptual y técnico para navegar por la complejidad intrínseca de los sistemas naturales y artificiales. Su estudio no solo es una exigencia académica para científicos e ingenieros, sino también una competencia analítica fundamental para comprender y optimizar los procesos que definen el progreso tecnológico y económico de la sociedad moderna (Uchima et al., 2024). La transición de lo unidimensional a lo multidimensional es, en última instancia, el paso necesario hacia una descripción fiel y operativa de la realidad.

# Capítulo 6

## Control estadístico de la calidad y métodos bayesianos

El control estadístico de la calidad ha sido un pilar fundamental en la evolución de la manufactura moderna y en la optimización de los procesos operativos. Históricamente, el enfoque tradicional se ha arraigado profundamente en la estadística frecuentista, asumiendo que los parámetros de un proceso son valores fijos pero desconocidos que deben estimarse exclusivamente a partir de muestras de datos observadas en el tiempo presente. Sin embargo, en los entornos de producción contemporáneos, caracterizados por ciclos de vida de productos sustancialmente más cortos y menor disponibilidad de datos históricos masivos, las limitaciones de la inferencia clásica se han vuelto sumamente evidentes.

El surgimiento y la consolidación de los métodos bayesianos en el control estadístico de procesos ofrecen un marco matemático riguroso y dinámico que no solo permite la actualización continua de la información a medida que se recolectan nuevos datos, sino que también aborda la incertidumbre paramétrica de una manera que la estadística clásica rara vez logra.

El ingeniero Walter Shewhart introdujo los gráficos de control sin memoria, diseñados específicamente para identificar desviaciones significativas utilizando únicamente los datos de la muestra más reciente. Si bien las cartas de Shewhart demostraron ser efectivas para detectar grandes

cambios en la media o la variabilidad del proceso, su incapacidad para retener información histórica limitó gravemente su sensibilidad ante variaciones pequeñas o graduales. Esta limitación impulsó el desarrollo de herramientas con memoria, como los gráficos de media móvil ponderada exponencialmente (EWMA) y los gráficos de sumas acumuladas (CUSUM), que acumulan información tanto actual como pasada para ofrecer una detección mucho más ágil de desplazamientos sutiles en los parámetros monitoreados.

A pesar de las sustanciales mejoras introducidas por las cartas EWMA y CUSUM, el marco frecuentista siguió enfrentando dificultades insalvables asociadas a la estimación de parámetros durante la Fase I del control estadístico y al impacto de la incertidumbre en los tamaños de muestra pequeños. Fue en 1952 cuando Girshick y Rubin introdujeron formalmente el concepto de gráficos de control bayesianos para parámetros de localización, sentando las bases de una metodología alternativa que considera los parámetros poblacionales desconocidos no como constantes fijas, sino como variables aleatorias dotadas de sus propias distribuciones de probabilidad. Esta transición filosófica permitió a los investigadores y profesionales de la calidad cuantificar directamente la incertidumbre del proceso y refinar progresivamente los límites de control, basándose en la combinación de datos muestrales empíricos y distribuciones a priori informativas.

El paso de modelos rígidos a esquemas flexibles de actualización bayesiana no solo representa un refinamiento técnico, sino también una redefinición completa de la manera en que se entiende la variabilidad en los sistemas de manufactura. La literatura especializada indica que el teorema de Bayes proporciona un mecanismo natural para el aprendizaje secuencial. Al fusionar la experiencia técnica acumulada con la evidencia de las muestras

activas, la toma de decisiones se vuelve sustancialmente más robusta frente al ruido estadístico, lo que atenúa los problemas de sobrerreacción y subreacción ante falsas alarmas que suelen aquejar a los sistemas tradicionales influenciados por el descuido del sistema y la ponderación excesiva de señales aisladas.

## **La transición teórica del paradigma clásico al bayesiano**

En el control estadístico de procesos tradicionales, el analista calcula los límites de control a partir de estimadores puntuales obtenidos de una muestra inicial de calibración. Por ejemplo, en un gráfico de proporción de unidades defectuosas (gráfico  $p$ ), el límite superior de control se calcula comúnmente mediante aproximaciones normales que asumen el estimador puntual como el parámetro real del proceso, ignorando la incertidumbre de muestreo inherente a la estimación empírica. Cuando el tamaño del subgrupo es pequeño o los datos de la Fase I son limitados, los límites de control resultantes pueden ser inexactos, lo que provoca tasas de falsas alarmas inaceptablemente altas o fallos en la detección de fallos reales.

El enfoque bayesiano aborda directamente esta deficiencia al establecer que cualquier parámetro desconocido del sistema posee una distribución de probabilidad que refleja el estado de conocimiento sobre dicho parámetro. En lugar de depender de una única estimación puntual que asume falsamente la certeza absoluta, la inferencia bayesiana calcula una distribución posterior que combina la distribución a priori del analista con la función de verosimilitud de los datos observados (Alam et al., 2018). La variabilidad en las líneas de

manufactura a menudo proviene de causas comunes y especiales, pero los errores de medición y la escasez de muestras introducen una tercera capa de incertidumbre: la paramétrica. Al tratar los parámetros como variables aleatorias, los métodos bayesianos eliminan la dicotomía clásica de asumir estabilidad perfecta durante la calibración.

## **Distribuciones a priori y verosimilitud en la actualización de procesos**

La selección de la distribución a priori es un paso crucial en la formulación de cualquier modelo bayesiano de control de calidad. Las investigaciones clasifican estas distribuciones en dos categorías principales: distribuciones a priori no informativas y distribuciones a priori informativas. Las distribuciones no informativas, como la distribución a priori de Jeffreys o las distribuciones uniformes, se utilizan cuando no se dispone de conocimientos previos específicos sobre el proceso o cuando se busca que la inferencia esté dominada casi en su totalidad por los datos de la muestra actual. Por el contrario, las distribuciones a priori informativas se emplean para incorporar formalmente datos históricos de ingeniería, registros de máquinas similares o variabilidad analítica previamente cuantificada.

Para facilitar el cálculo analítico de las distribuciones posteriores, los investigadores suelen recurrir a familias de distribuciones a priori conjugadas. Una distribución a priori se considera conjugada con respecto a una función de verosimilitud específica si la distribución posterior resultante pertenece a la misma familia de distribuciones que la a priori. Esta propiedad es inestimable en los sistemas de monitorización en tiempo real, ya que permite realizar actualizaciones matemáticas cerradas y secuenciales sin recurrir a

costosas simulaciones computacionales en cada iteración del proceso.

En el análisis de atributos, cuando se asume un modelo binomial para el número de unidades defectuosas, la distribución Beta actúa como la distribución a priori conjugada estándar. En un análisis de Statgraphics para el control de atributos, se especifica la distribución a priori Beta para el parámetro desconocido  $\theta$  de la siguiente manera:

$$p(\theta) = \frac{\Gamma(v+w)}{\Gamma(v)\Gamma(w)} \theta^{v-1} (1-\theta)^{w-1}$$

Donde  $v$  y  $w$  representan los parámetros de forma de la distribución Beta. De forma equivalente, cuando los datos consisten en el conteo total de no conformidades que se distribuyen según un modelo de Poisson, la distribución Gamma se establece como la distribución a priori conjugada para la tasa media de defectos  $\lambda$ :

$$p(\lambda) = \frac{\beta^\alpha}{\Gamma(\alpha)} \lambda^{\alpha-1} e^{-\beta\lambda}$$

Donde  $\alpha$  y  $\beta$  representan los parámetros de forma y tasa, respectivamente, de la distribución Gamma. La selección de distribuciones a priori conjugadas no es una mera simplificación matemática, sino que refleja un alineamiento lógico con las leyes físicas que rigen los fallos de manufactura. Por ejemplo, la distribución Beta es idónea para modelar proporciones estrictamente confinadas en el intervalo entre cero y uno, mientras que la distribución Gamma resulta perfecta para parámetros de tasa de defectos que deben ser estrictamente positivos y pueden presentar

asimetría hacia la derecha.

## **El papel de las distribuciones predictivas en la monitorización en tiempo real**

Una de las ventajas metodológicas más profundas de la inferencia bayesiana en el control de calidad es su idoneidad natural para la predicción de observaciones futuras. A diferencia de los métodos clásicos que emplean estimadores fijos para proyectar el comportamiento futuro del sistema, el marco bayesiano utiliza la distribución predictiva posterior. La distribución predictiva para una variable futura, dado el conjunto de datos acumulado hasta el momento, se define matemáticamente como la integral de la incertidumbre del parámetro fuera del modelo de muestreo.

Menzefricke propuso en 2002 un enfoque bayesiano para derivar la región de rechazo de un gráfico de control a partir de densidades predictivas bajo incertidumbre paramétrica. Para una muestra futura de tamaño  $n$  con  $T$  éxitos, la distribución predictiva incondicional de  $T$  se obtiene mediante la siguiente expresión:

$$f(T|\text{datos}) = \int_0^1 f(T|p)\pi(p|\text{datos})dp$$

En esta formulación,  $f(T|p)$  representa la distribución condicional de la nueva observación dada una realización del parámetro de proporción  $p$ , mientras que  $\pi(p|\text{datos})$  denota la densidad posterior calculada tras observar las muestras previas. El resultado de esta operación es una densidad

predictiva incondicional que incorpora simultáneamente tanto la variabilidad aleatoria inherente al proceso físico como la incertidumbre remanente sobre el valor real del parámetro en cuestión.

Al utilizar los percentiles de esta distribución predictiva para establecer los límites de control dinámicos, el gráfico resultante se vuelve inherentemente autoajutable y mucho más robusto frente al ruido. El análisis de datos simulados demuestra que este enfoque produce longitudes medias de racha (ARL) significativamente mayores cuando el proceso está bajo control, lo que se traduce en una reducción drástica de las tasas de falsas alarmas que suelen interrumpir innecesariamente las líneas de producción industrial.

## **Modelado avanzado mediante redes bayesianas y computación bayesiana aproximada (ABC)**

La evolución de las arquitecturas bayesianas ha permitido superar los modelos univariantes y bivariantes, avanzando hacia estructuras de red capaces de modelar dependencias complejas entre múltiples variables de un sistema operativo. Las redes bayesianas (BN) proporcionan herramientas gráficas y numéricas de gran valor que ayudan a los analistas a comprender el efecto directo de las observaciones muestrales sobre la probabilidad de que el proceso se encuentre fuera de control y requiera una investigación inmediata (Montes et al., 2024).

Los parámetros de un modelo de control estadístico de procesos basado en redes bayesianas se diseñan de manera estadística para minimizar la

longitud media de racha fuera de control, dados un tamaño de muestra y una longitud de racha en control especificados. Las investigaciones indican que el modelo de redes bayesianas supera de forma consistente a los gráficos de control adaptativos de tipo  $np$  en una amplia variedad de experimentos simulados. Las excepciones se manifiestan únicamente en casos específicos en los que sólo es relevante detectar un cambio de gran magnitud en la proporción de defectos de la muestra.

La arquitectura de las redes bayesianas resulta particularmente útil cuando sólo se dispone de tamaños de muestra reducidos y los gerentes necesitan detectar cambios sutiles en la proporción de defectos producidos por el proceso. Además, estas estructuras permiten combinar el conocimiento cualitativo experto con los datos de las muestras empíricas, modelando el porcentaje promedio de defectos como una variable aleatoria continua. El marco de la Red Bayesiana permite, de forma sumamente sencilla, clasificar la operación del sistema en dos o más estados operativos, lo que posibilita realizar diagnósticos de fallos de manera simultánea a la inferencia estadística de los datos.

## **Computación Bayesiana Aproximada (ABC) en escenarios sin verosimilitud explícita**

En el ámbito de los sistemas industriales altamente complejos, el cálculo analítico o directo de la función de verosimilitud resulta a menudo inviable debido a la intrincada estructura física de los componentes o a la presencia de múltiples variables interconectadas. En tales circunstancias, los métodos de Computación Bayesiana Aproximada (ABC) constituyen una clase de métodos computacionales fuertemente arraigados en la estadística

bayesiana que permiten estimar las distribuciones posteriores de los parámetros del modelo (Pineda et al., 2024).

La premisa fundamental de los algoritmos basados en ABC radica en aproximar la función de verosimilitud mediante simulaciones computacionales masivas, cuyos resultados se comparan directamente con los datos observados en el sistema real. En su forma algorítmica más básica, conocida como el algoritmo de rechazo ABC, se extrae un conjunto de puntos paramétricos de la distribución a priori. Dado un punto paramétrico muestreado  $\theta$ , se simula un conjunto de datos  $x'$  bajo el modelo estadístico especificado por  $\theta$ . Si los datos generados  $x'$  resultan ser demasiado distantes de los datos observados  $x$ , el valor paramétrico muestreado se descarta formalmente del análisis. En términos matemáticos precisos, el parámetro simulado se acepta bajo una tolerancia  $\epsilon$  si se cumple la condición de distancia métrica:

$$\rho(S(x'), S(x)) \leq \epsilon$$

Donde  $S(\cdot)$  representa un estadístico de resumen derivado de los datos y  $\rho(\cdot)$  es una métrica de distancia. A pesar de que la probabilidad de generar conjuntos de datos con distancias pequeñas disminuye sustancialmente a medida que aumenta la dimensionalidad de las variables, el desarrollo de métodos avanzados de Monte Carlo ha permitido que la metodología ABC se consolide como una herramienta poderosa para abordar problemas de predicción y estimación en los que los métodos convencionales fracasan por completo (Franco & Alsina, 2024).

# Funciones de pérdida y optimización económica en las decisiones de calidad

La toma de decisiones bajo incertidumbre es un aspecto fundamental del control de calidad que los métodos bayesianos abordan directamente mediante el uso estructurado de funciones de pérdida. La función de pérdida cuantifica numéricamente la penalización o el coste asociado a la discrepancia entre el valor estimado de un parámetro y su valor verdadero en el sistema. La literatura identifica una amplia variedad de funciones de pérdida aplicadas a la inferencia de índices de capacidad y de parámetros de localización.

La función de pérdida por error cuadrático (SELF) es el ejemplo más común y extendido de una medida simétrica. Formulada originalmente por Gauss, la función SELF penaliza por igual tanto las subestimaciones como las sobreestimaciones del parámetro del proceso. Si  $X$  es la variable predictiva y  $\mu_{SELF}$  es su estimación matemática, la función SELF se define formalmente como  $L(X, \mu_{SELF}) = (X - \mu_{SELF})^2$ . El estimador bayesiano que minimiza la pérdida esperada bajo este esquema es la media de la distribución posterior.

Para subsanar la desconexión entre la teoría estadística y la economía operativa en escenarios en los que las penalizaciones por desvíos no son equivalentes, se han desarrollado funciones de pérdida asimétricas de gran sofisticación matemática. La Tabla 7, presentada a continuación, expone un resumen de las principales funciones de pérdida utilizadas en la literatura especializada para obtener estimadores bayesianos de índices de capacidad y

monitorización de parámetros.

**Tabla 7: Resumen de las principales funciones de pérdida utilizadas**

<b>Denominación de la Función de Pérdida</b>	<b>Abreviatura</b>	<b>Naturaleza Matemática</b>	<b>Propósito Operativo Principal en Manufactura</b>
Error Cuadrático (SELF)	SELF	Simétrica	Estimación matemática simplificada basada en la media posterior
Error Cuadrático Logarítmico	Log-SELF	Asimétrica	Atenuar la penalización sobre desviaciones masivas en colas pesadas
Error Cuadrático Ponderado	WSLF	Asimétrica	Otorgar mayor peso de penalización a regiones de operación críticas
Error Cuadrático	MSLF	Asimétrica	Adaptabilidad en

Modificado			la estimación de índices de capacidad complejos
Función de Pérdida Linex	LLF	Asimétrica	Modelar penalizaciones que crecen de forma exponencial en una dirección
Función de Pérdida Cauta	PLF	Asimétrica	Prevenir la subestimación de fallos en bajas tasas de ocurrencia
Función de Pérdida de Entropía	ELF	Asimétrica	Minimizar la pérdida de información en sistemas de alta incertidumbre

La función de pérdida Linex (LLF), introducida originalmente por Varian, destaca por integrar de forma fluida componentes exponenciales y lineales. Bajo la función Linex, el estimador bayesiano de precisión se deriva matemáticamente de la siguiente manera:

$$\theta = -\frac{1}{c} \ln E_{\theta|x}[e^{-c\theta}]$$

Donde  $c$  representa un parámetro de escala que determina el grado de asimetría de la penalización financiera. La integración de estas funciones traslada el control estadístico de un ejercicio puramente matemático a una estrategia de optimización financiera de la producción. La vinculación causal directa entre el coste real de los fallos de calidad y los criterios algebraicos para detener una máquina redefine el concepto clásico de límite de control, permitiendo al sistema optimizar activamente el rendimiento económico de la planta de producción.

## **Dinámica de decisiones en el muestreo de aceptación**

Más allá de la mera fijación de límites de control, la teoría de decisiones bayesiana permite diseñar directrices de control mediante la minimización del riesgo bayesiano. Trabajos analíticos pioneros demostraron que el tamaño óptimo de la muestra, el intervalo óptimo entre muestreos y las reglas de decisión óptimas pueden determinarse minimizando el coste promedio esperado a largo plazo del sistema de producción.

En la optimización de procesos de productos electrónicos complejos, los investigadores han subdividido matemáticamente el proceso de detección en la inspección de partes individuales y de productos terminados. Al construir un modelo dinámico de programación que considera la decisión de desensamblar productos no conformes, se obtienen esquemas de decisión óptimos para múltiples casos (Lopez et al., 2024). Adicionalmente, se ha introducido el método de actualización bayesiana para ajustar, de manera

puramente dinámica, la tasa de defectos en función del número real de productos defectuosos detectados en tiempo real por los operarios de la planta. Este enfoque de actualización dinámica permite actualizar continuamente el esquema de decisiones previas y, de forma matemática, optimizar dinámicamente las decisiones económicas en la línea de montaje.

## **Gráficos de control bayesianos avanzados para distribuciones específicas**

Los gráficos de control bayesianos han demostrado ser herramientas de excepcional eficiencia para el monitoreo de variaciones en los procesos de manufactura al incorporar formalmente el conocimiento a priori sobre las distribuciones de los parámetros. Un desarrollo matemático significativo en esta área es la introducción de gráficos de control de media móvil ponderada exponencialmente (EWMA), basados en la teoría bayesiana, para el monitoreo específico del parámetro de forma en procesos que siguen una distribución de vida de Pareto (LPD).

En este diseño estadístico avanzado, se incorpora un enfoque predictivo a priori y se procede a estimar de manera formal el parámetro de forma de la distribución. La evaluación de rendimiento para este tipo de gráficos EWMA bayesianos se efectúa comúnmente en contraste directo con los gráficos EWMA clásicos, recurriendo al uso de métricas como la longitud media de racha (ARL) y la desviación estándar de la longitud de racha (SDRL) obtenidas mediante densas simulaciones computacionales de Monte Carlo. Los resultados numéricos revelan de forma consistente que el gráfico de control bayesiano exhibe una efectividad significativamente mayor para manejar la

incertidumbre inherente a los parámetros y detectar pequeños desplazamientos físicos en el proceso a través de diversos grados de desvío de los parámetros de forma y múltiples tamaños muestrales analizados.

## **Variaciones de memoria y adaptabilidad en gráficos de control por atributos**

La efectividad de los esquemas probabilísticos se ha potenciado mediante el diseño de gráficos bayesianos para el conteo de defectos en el control de calidad de la producción (Batanero et al., 2025). Como una extensión natural del gráfico  $c$  tradicional, empleado para evaluar la estabilidad de los procesos comerciales o de manufactura mediante el conteo de no conformidades en una unidad de muestra, el gráfico bayesiano utiliza la distribución de Poisson para el número de defectos y una distribución Gamma para establecer los límites predictivos de control de la carta.

Los estudios de simulación para establecer estos límites predictivos en el gráfico  $c$  varían sistemáticamente los parámetros del número promedio esperado de defectos ( $\lambda$ ) y las unidades de inspección físicamente muestreadas ( $n$ ). Los resultados empíricos derivados de estas simulaciones indican que el método bayesiano propuesto supera de manera consistente a las técnicas clásicas existentes —a saber, el método frecuentista tradicional y el método bayesiano basado en la distribución a priori de Jeffreys—, ofreciendo longitudes medias de racha sustancialmente mayores cuando el sistema opera de forma conforme y tasas de falsas alarmas (FAR) reducidas que se aproximan exactamente a los valores nominales esperados (Pokharel et al., 2024).

No obstante, las investigaciones advierten que pueden surgir desafíos específicos en escenarios en los que se observan valores elevados del parámetro, por lo que se recomienda adoptar, en tales circunstancias, valores más reducidos del parámetro de tasa de la distribución Gamma a priori para optimizar la convergencia computacional.

Asimismo, las cartas adaptativas (AEWMA) y los gráficos híbridos EWMA (HEWMA) permiten que los parámetros de ponderación fluctúen en tiempo real en función de la magnitud de la desviación observada respecto al objetivo central. En el monitoreo de procesos bajo control estricto, el algoritmo de monitorización de un gráfico AEWMA bayesiano opera según protocolos secuenciales específicos. Inicialmente, el umbral de decisión se fundamenta matemáticamente en un valor de la constante de suavizado seleccionado específicamente para la corrida.

Se procede a generar, de forma secuencial, muestras aleatorias de tamaño  $n$  extraídas de una distribución normal que representa el proceso bajo control. El estadístico AEWMA recomendado se calcula mediante un enfoque bayesiano y se evalúa el proceso en función de las especificaciones de diseño predeterminadas. Esta etapa se repite indefinidamente mientras el proceso continúe operando conforme a lo establecido, llevando un registro riguroso de las longitudes de racha físicas hasta que el sistema finalmente dispare una señal de alarma por fuera de control.

En el escenario de monitoreo de un proceso que ha sufrido un desplazamiento real o un desvío estructural, las muestras se extraen matemáticamente de una distribución gaussiana basada formalmente en el estimador de Bayes de la función de pérdida específica que se esté aplicando

en la simulación. Tras computar el estadístico de control bayesiano, se registran las longitudes de racha y se realizan iteraciones masivas de hasta 100.000 repeticiones para promediar las métricas de rendimiento ARL y SDRL. Al aplicar esta arquitectura matemática completa a un contexto práctico de manufactura de semiconductores (específicamente en el proceso térmico crítico de "hard-bake"), la estructura AEWMA bayesiana basada en esquemas de muestreo PRSS demostró una sensibilidad hiperdesarrollada para capturar señales fuera de control, superando con creces a los gráficos convencionales basados en muestreo aleatorio simple.

## **Planes de muestreo de aceptación bayesianos y cadenas de Markov**

El muestreo de aceptación es otra de las metodologías clásicas de la ingeniería de calidad que se utiliza para decidir si un lote completo de materias primas o productos terminados debe ser aceptado o rechazado, basándose en la inspección de una porción representativa del mismo (Walpole et al., 2012). Mientras que los planes de muestreo tradicionales por atributos operan bajo el supuesto restrictivo de que la proporción de unidades defectuosas en un lote es una constante, el enfoque de muestreo de aceptación bayesiano (BASP) modela formalmente la tasa de defectos de lote a lote como una variable aleatoria.

El uso de modelos estocásticos avanzados y procesos de Markov resulta especialmente valioso para el diseño de planes de muestreo dobles o secuenciales. En un plan de muestreo doble bayesiano basado en el modelo Gamma-Poisson, la decisión de aceptar el lote, rechazarlo o proceder a la

extracción de una segunda muestra de verificación se modela mediante una matriz de probabilidad de transición que define los estados absorbentes y no absorbentes del sistema de inspección. La matriz de probabilidad de transición para un espacio de estados finito con tiempo discreto se estructura mediante componentes matemáticos definidos de la siguiente manera:

- Un bloque matricial  $A$  que representa una matriz de identidad y modela la probabilidad de permanencia en un estado determinado.
- Un bloque matricial  $O$  que representa las probabilidades de escapar de un estado absorbente, que, por definición matemática, siempre es igual a cero.
- Un bloque matricial  $R$  que contiene de manera formal todas las probabilidades de transitar desde un estado no absorbente hacia un estado de absorción (es decir, la resolución final de aceptación o rechazo del lote analizado).

La formulación económica de este sistema de muestreo doble requiere calcular el coste total esperado del plan de inspección. El coste promedio total para el plan de muestreo doble se deriva mediante la adición de tres componentes financieros principales:

$$E(TC) = \text{Coste de Aceptación} + \text{Coste de Rechazo} + \text{Coste de Inspección}$$

Donde el coste de aceptación se cuantifica multiplicando directamente el coste unitario por elemento defectuoso por el tamaño físico del lote completo y por la probabilidad de aceptar dicho lote. De forma análoga, el coste de rechazo se obtiene al multiplicar el coste penal por rechazo de lote

por la probabilidad de rechazo del lote. El uso de cadenas de Markov en este marco secuencial otorga a los ingenieros de calidad un dinamismo analítico que integra el conocimiento previo obtenido de las entregas previas de materiales para ajustar matemáticamente el nivel de rigurosidad de la inspección actual.

## **Muestreo de aceptación bajo esquemas de censura progresiva tipo II**

La optimización de los planes de muestreo bayesianos se ha extendido sustancialmente a los sistemas de pruebas de vida aceleradas y a los datos censurados. En muchos entornos industriales, resulta económicamente inviable esperar a que todos los componentes sometidos a prueba fallen físicamente, por lo que se recurre a esquemas de censura progresiva de tipo II para detener la recolección de datos bajo protocolos regulados.

La literatura reporta la derivación de planes de muestreo de aceptación de fiabilidad bayesianos para datos de riesgos competitivos independientes bajo esquemas de censura por intervalos. Inicialmente, se deriva de forma matemática un plan de muestreo de aceptación de fiabilidad bayesiano donde el criterio analítico de decisión para aceptar un lote completo de producto se encuentra fijado de antemano. Para conjuntos de datos masivos donde el tamaño de la muestra efectiva es elevado, el cómputo directo del riesgo de Bayes se vuelve de naturaleza computacionalmente intensiva y prohibitiva en términos de tiempo de ejecución. Por lo tanto, se recurre habitualmente a la derivación de un riesgo de Bayes aproximado mediante las propiedades asintóticas bien conocidas de los estimadores de máxima verosimilitud clásicos.

Así, el analista puede derivar un plan de muestreo de aceptación bayesiano de fiabilidad, en el que la función de decisión matemática se define de forma completamente arbitraria. Al minimizar el riesgo de Bayes entre la familia completa de funciones de decisión potenciales, el fabricante puede derivar matemáticamente una función de decisión óptima, conocida formalmente en la teoría estadística como la función de decisión de Bayes (Pineda et al., 2024). Los algoritmos numéricos desarrollados para este propósito garantizan que las comparaciones entre múltiples planes de muestreo de fiabilidad bayesianos se lleven a cabo bajo estrictas métricas de consistencia matemática y convergencia probabilística.

## **Evaluación de la capacidad del proceso bajo el enfoque bayesiano**

El análisis de capacidad del proceso es el estudio estadístico empleado para determinar el grado en que un sistema de manufactura es capaz de producir artículos que cumplan de manera consistente con los límites de especificación establecidos por el cliente o por el departamento de diseño. Para sintetizar esta información compleja de rendimiento en un único número interpretable, la industria utiliza índices de capacidad estandarizados como  $C_p$ ,  $C_{pk}$  y  $C_{pmk}$ . Dado que estos índices se calculan a partir de observaciones muestrales, son, por definición, estimaciones estadísticas sujetas a un margen de error.

Un desafío analítico recurrente y severo en la evaluación de la capacidad de los procesos modernos es la prevalencia de datos que violan de manera flagrante el supuesto clásico de la distribución normal. En numerosos procesos

químicos, de fiabilidad de componentes y manufactura de precisión, las variables de respuesta de calidad exhiben asimetrías pronunciadas o colas pesadas que hacen que los cálculos tradicionales de  $C_{pk}$  resulten completamente inválidos y peligrosamente engañosos.

Para abordar la no normalidad en la evaluación de la capacidad, las investigaciones han aportado perspectivas analíticas profundas sobre la evaluación matemática de índices de capacidad específicos, tales como  $S_{pmk}$  y  $C_{PY}$ . Esto se ha logrado mediante el desarrollo estructural de un modelo de mezcla de dos componentes, fundamentado en distribuciones de Fréchet, utilizando métodos de máxima verosimilitud y bayesianos.

Además, las técnicas de remuestreo bootstrap se emplean ampliamente para evaluar formalmente la estabilidad estructural y el rendimiento de los índices de capacidad de proceso estimados. Los estudios comparativos revelan de forma sistemática que los estimadores bayesianos superan con creces a sus contrapartes clásicas frecuentistas en términos de reducción del error cuadrático medio (MSE) y de estrechamiento de los anchos de los intervalos de confianza bootstrap, calculados a partir de tamaños muestrales pequeños, moderados y grandes.

## **Procedimientos en Statgraphics y derivación de métricas de margen**

El software comercial Statgraphics ejecuta de manera formal estimaciones bayesianas de la capacidad del proceso combinando el conocimiento previo acumulado con una nueva muestra de datos empíricos de la línea (Pokharel et al., 2024). El programa combina, de forma matemática, la

distribución a priori seleccionada por el analista (ya sea Beta para proporciones o Gamma para tasas de Poisson) con la función de verosimilitud obtenida a partir de los datos observados, para proyectar una distribución posterior completa de la capacidad.

A partir de la curva generada de la distribución posterior del parámetro de calidad, Statgraphics calcula de manera directa un conjunto completo de estadísticas y métricas de margen de capacidad derivadas. Las principales estadísticas operativas que se calculan en la salida del programa bayesiano incluyen de manera estándar las siguientes mediciones analíticas:

- **Defectos por millón (DPM):** Se calcula multiplicando por un factor de  $1,000,000$  el estimador puntual posterior  $\hat{\theta}$  del parámetro de falla del sistema.
- **Porcentaje de Rendimiento (% yield):** Representa el porcentaje de artículos que cumplen las tolerancias y se calcula matemáticamente como  $100 \times (1 - \hat{\theta})\%$ .
- **Puntaje Z Equivalente (Equivalent Z-score):** Esta métrica indica el valor matemático exacto de una distribución normal estándar que es excedido con una probabilidad exactamente igual al parámetro estimado  $\hat{\theta}$ . Si  $\Phi(z)$  denota la función de distribución acumulada normal estándar, el puntaje  $Z$  es el valor real de la variable que satisface la igualdad formal  $\Phi(z) = 1 - \hat{\theta}$  (Seijas et al., 2020).
- **Índice  $C_{pk}$  Modificado:** Se deriva directamente de la escala anterior y se calcula de manera simplificada, dividiendo el puntaje equivalente entre un factor constante de 3.

- **Nivel de Calidad Sigma (SQL):** Esta métrica final representa la escala de calidad sigma del proceso completo y se calcula matemáticamente adicionando un factor de corrección constante de 1.5 al puntaje  $Z$  previamente derivado.

Este detallado arsenal de métricas bayesianas permite a los directores de planta y a los ingenieros de calidad comprender exactamente no solo la tasa esperada de fallos de su maquinaria de producción, sino también la certidumbre probabilística que respalda a dicha estimación estadística bajo condiciones reales de operación (Pineda et al., 2024).

## **Ecosistemas computacionales y paquetes de R para el control bayesiano**

Históricamente, el principal obstáculo para la adopción masiva de los métodos bayesianos en las plantas de fabricación fue la pesada carga computacional requerida para resolver las complejas integrales de la distribución posterior y ejecutar de manera iterativa los algoritmos MCMC necesarios para obtener densidades predictivas. El desarrollo de la potencia de cálculo y la democratización de los lenguajes de código abierto han permitido el surgimiento de múltiples paquetes especializados en el entorno computacional de R que facilitan la aplicación del control de calidad bayesiano.

El paquete bayespm (Bayesian Statistical Process Monitoring) destaca como una de las pocas implementaciones explícitas de librerías puramente dedicadas al control estadístico de procesos bayesiano. La librería implementa gráficos de control predictivos auto-iniciados y continuamente actualizados en

tiempo real, capaces de operar incluso en completa ausencia de información histórica previa. El paquete introduce funciones de alta sofisticación para analizar múltiples familias de datos exponenciales. Por ejemplo, la función `nbinom_PCC` se utiliza para generar el gráfico de control predictivo (PCC) para datos que siguen un modelo binomial negativo, asumiendo que el parámetro de probabilidad física es completamente desconocido para el ingeniero, pero que el número de fallos del proceso es conocido.

Para ofrecer una perspectiva mucho más exhaustiva de las herramientas de software disponibles que pueden brindar soporte computacional a las tareas de modelado bayesiano en el control estadístico de la calidad, la Tabla 8 a continuación resume los principales paquetes de R documentados en la literatura académica y en los repositorios oficiales de CRAN.

**Tabla 8: Principales paquetes de R**

<b>Denominación del Paquete en R</b>	<b>Funcionalidad Clave Ofrecida en el Entorno Bayesiano</b>	<b>Aplicabilidad Directa al Control de Calidad</b>
bayespm	Monitoreo secuencial de procesos y gráficos PCC / PRC	Detección de desplazamientos persistentes y aislados en tiempo real
abn	Modelado de Redes Bayesianas Aditivas de	Diagnóstico estructural de fallos multivariantes

	alta dimensión	en máquinas
LaplacesDemon	Entorno bayesiano masivo con múltiples algoritmos MCMC	Modelado avanzado de parámetros de control altamente complejos
bayesforecast	Análisis bayesiano estructural de series de tiempo mediante Stan	Modelado de derivas y estacionalidades en sensores industriales
bayestestR	Descripción de distribuciones posteriores e intervalos HDI	Derivación de intervalos de credibilidad para índices de capacidad
nimble	Sistema BUGS/JAGS personalizable compilado directamente en C++	Simulación rápida de modelos de tolerancia de alta precisión
bsvars	Estimación bayesiana de vectores autorregresivos estructurales	Análisis de choques estructurales y volatilidad en múltiples líneas

La versatilidad de este ecosistema computacional garantiza que los analistas no solo pueden monitorear desviaciones estáticas tradicionales, sino también capturar dinámicas temporales complejas y modelar redes de causalidad completas para desentrañar las fuentes físicas de los defectos en la línea de montaje. La democratización de estas librerías de programación probabilística ha derribado de manera definitiva la barrera de entrada

matemática que mantenía a los métodos bayesianos reservados exclusivamente para los laboratorios de investigación académica avanzada.

La exhaustiva revisión de los principios matemáticos, los algoritmos computacionales y los casos prácticos presentados a lo largo de este reporte permite concluir que la integración de los métodos bayesianos en el control estadístico de la calidad representa una de las revoluciones metodológicas más disruptivas y prometedoras para la ingeniería operativa contemporánea. Al abandonar la rígida presunción clásica de que los parámetros del proceso operan como constantes fijas desconectadas de toda experiencia histórica, el marco probabilístico bayesiano proporciona una estructura de aprendizaje continuo que se adapta con fluidez a las exigencias de los entornos de manufactura de alta precisión (Walpole et al., 2012).

Las cartas de control predictivas avanzadas, como los modelos AEWMA o HEWMA ajustados con funciones de pérdida asimétricas y esquemas de muestreo por rangos ordenados, han demostrado de forma sistemática un nivel de sensibilidad hiperdesarrollado para aislar señales reales de desvío frente al ruido operacional de fondo. Esta capacidad de discriminación estadística no solo acelera la detección de fallos mecánicos latentes, sino que también protege la rentabilidad de las empresas al reducir drásticamente el volumen de falsas alarmas que interrumpen innecesariamente los flujos de producción.

Asimismo, la extensión de los métodos bayesianos al modelado de distribuciones de valores extremos en el análisis de capacidad de procesos dota a los ingenieros de una comprensión realista y honesta de la probabilidad de fallo real de sus componentes en campo. La consolidación de entornos de

programación probabilística de código abierto, como Stan, y de paquetes dedicados en R garantiza que las organizaciones de cualquier escala puedan acceder de forma transparente a este sofisticado arsenal de herramientas matemáticas. La transición corporativa hacia el paradigma bayesiano deja de ser una mera opción de refinamiento analítico para convertirse en una estrategia competitiva indispensable, enfocada en la robustez de los sistemas, la reducción de costes por no conformidad y la garantía absoluta de los estándares de calidad modernos Montes et al., 2024).

# Conclusión

En la actualidad, la probabilidad y la estadística dejan de ser solo asignaturas básicas; se convierten en el lenguaje que define el futuro de la innovación. Un ingeniero que domina estas herramientas se convierte en un recurso clave, capaz de convertir grandes volúmenes de datos en valor económico y beneficios sociales.

La tendencia para 2030 muestra que la IA contribuirá con un 26% al PIB mundial. Sin embargo, solo las sociedades y organizaciones que inviertan en la formación continua de su capital humano podrán aprovechar este crecimiento. Los roles relacionados con los datos no están de moda por una moda pasajera; su importancia crece porque constituyen el sistema nervioso de las empresas modernas.

En consecuencia, la pedagogía de la estadística en ingeniería ha evolucionado de la resolución manual de ejercicios a un enfoque basado en proyectos y competencias reales. La tendencia actual es implementar currículos menos técnicos y más prácticos, utilizando el modelo CDIO (Concebir, Diseñar, Implementar, Operar) para que los estudiantes se enfrenten a problemas de la realidad desde el inicio de su formación.

Así, la enseñanza también se apoya en la IA generativa para personalizar el aprendizaje. Los modelos de *machine learning* analizan el progreso de los estudiantes, identifican obstáculos recurrentes y diseñan estrategias de retroalimentación adaptativa. Esto permite que el docente se desplace de una función de transmisor de información a otra de mentor y facilitador de competencias complejas de razonamiento bajo incertidumbre.

El ingeniero del futuro —y del presente— debe ser un profesional híbrido: con la rigurosidad de un matemático para comprender los fundamentos de la probabilidad de Kolmogorov, la agilidad de un programador para crear pipelines de datos en Spark o Python, y la visión de un líder para tomar decisiones estratégicas basadas en la inteligencia. Este tratado busca ser el puente entre estos mundos, ofreciendo las bases sólidas para navegar con éxito en la era de la incertidumbre y la información masiva.

Al concluir este estudio, el lector no solo será capaz de realizar cálculos estadísticos avanzados, sino que también habrá desarrollado la intuición necesaria para formular las preguntas correctas a los datos y la sabiduría para interpretar adecuadamente las respuestas. Como se dice en la ciencia de datos: las estadísticas nunca mienten, pero a menudo responden a preguntas diferentes a las que pensamos haber planteado. En última instancia, el dominio de la probabilidad y la estadística equivale a alcanzar la claridad en un mundo complejo.

# Bibliografía

- Alam, M. A., Emura, K., Farnham, C., & Yuan, J. (2018). Best-Fit Probability Distributions and Return Periods for Maximum Monthly Rainfall in Bangladesh. *Climate*, 6(1), 9. <https://doi.org/10.3390/cli6010009>
- Batanero, C., Elgueda-Ibarra, M., & Gea, M. M. (2025). Probabilistic Language in Spanish Secondary Textbooks. *Education Sciences*, 15(8), 979. <https://doi.org/10.3390/educsci15080979>
- Bicaj, A., Berisha, F., & Gisewhite, R. (2024). Exploring In-Service Science Teachers' Self-Perceptions of Competence and Pedagogical Approaches to Socioscientific Issues in Education. *Education Sciences*, 14(11), 1249. <https://doi.org/10.3390/educsci14111249>
- Cardona, L. A. S., Vargas-Cardona, H. D., Navarro González, P., Cardenas Peña, D. A., & Orozco Gutiérrez, Á. Á. (2020). Classification of Categorical Data Based on the Chi-Square Dissimilarity and t-SNE. *Computation*, 8(4), 104. <https://doi.org/10.3390/computation8040104>
- Evans, M. (2024). The Concept of Statistical Evidence, Historical Roots and Current Developments. *Encyclopedia*, 4(3), 1201-1216. <https://doi.org/10.3390/encyclopedia4030078>
- Fang, K.T., & Pan, J. (2023). A Review of Representative Points of Statistical Distributions and Their Applications. *Mathematics*, 11(13), 2930. <https://doi.org/10.3390/math11132930>
- Franco Seguí, J., & Alsina, Ángel. (2024). ¿Cómo mejorar el conocimiento especializado para enseñar probabilidad?: Estrategias metodológicas para una formación eficaz. *REVISTA CIENTÍFICA ECOCIENCIA*, 11(3), 57-82. <https://doi.org/10.21855/ecociencia.113.912>

- Gajowniczek, K., & Dudziński, M. (2024). Influence of Explanatory Variable Distributions on the Behavior of the Impurity Measures Used in Classification Tree Learning. *Entropy*, *26*(12), 1020. <https://doi.org/10.3390/e26121020>
- Harremoës, P. (2025). Probability via Expectation Measures. *Entropy*, *27*(2), 102. <https://doi.org/10.3390/e27020102>
- Korkmaz, M. Ç., Leiva, V., & Martin-Barreiro, C. (2023). The Continuous Bernoulli Distribution: Mathematical Characterization, Fractile Regression, Computational Simulations, and Applications. *Fractal and Fractional*, *7*(5), 386. <https://doi.org/10.3390/fractalfract7050386>
- Li, Y., Prasad, R., Haseeb, A., Kumar, S., & Kumar, S. (2022). A Study of Clairaut Semi-Invariant Riemannian Maps from Cosymplectic Manifolds. *Axioms*, *11*(10), 503. <https://doi.org/10.3390/axioms11100503>
- Liang, J., He, P., & Yang, J. (2022). Testing Multivariate Normality Based on  $t$ -Representative Points. *Axioms*, *11*(11), 587. <https://doi.org/10.3390/axioms11110587>
- Lopez-Landeros, C. E., Valenzuela-Gonzalez, R., & Olivares-Benitez, E. (2024). Dynamic Optimization of a Supply Chain Operation Model with Multiple Products. *Mathematics*, *12*(15), 2420. <https://doi.org/10.3390/math12152420>
- Lugo-Armenta, J. G., & Pino-Fan, L. R. (2021). Inferential Reasoning of Secondary School Mathematics Teachers on the Chi-Square Statistic. *Mathematics*, *9*(19), 2416. <https://doi.org/10.3390/math9192416>
- Montes-Pajuelo, R., Rodríguez-Pérez, Á. M., López, R., & Rodríguez, C. A. (2024). Analysis of Probability Distributions for Modelling Extreme Rainfall Events and Detecting Climate Change: Insights from Mathematical and Statistical Methods. *Mathematics*, *12*(7), 1093. <https://doi.org/10.3390/math12071093>

- Pineda Procel, J. H., Alban Alcívar, J. A., Cañar Cuenca, J. Y., Jiménez Ordóñez, H. D., & Quezada Yaguachi, D. A. (2024). Estrategia Pedagógica del Aprendizaje Basado en Proyectos en la Enseñanza de Estadística y Probabilidad. *SAGA: Revista Científica Multidisciplinar*, 1(4), 202-212. <https://doi.org/10.63415/saga.v1i4.25>
- Pokharel, J. K., Aryal, G., Khanal, N., & Tsokos, C. P. (2024). Probability Distributions for Modeling Stock Market Returns—An Empirical Inquiry. *International Journal of Financial Studies*, 12(2), 43. <https://doi.org/10.3390/ijfs12020043>
- Ruiz-Tamayo, J., Vazquez-Lopez, J. A., Ruelas-Santoyo, E. A., Hernandez-Lopez, A., Lopez-Juarez, I., & Rios-Lira, A. J. (2021). Multivariate Pattern Recognition in MSPC Using Bayesian Inference. *Mathematics*, 9(4), 306. <https://doi.org/10.3390/math9040306>
- Seijas-Macías, A., Oliveira, A., Oliveira, T. A., & Leiva, V. (2020). Approximating the Distribution of the Product of Two Normally Distributed Random Variables. *Symmetry*, 12(8), 1201. <https://doi.org/10.3390/sym12081201>
- Trujillo, M., Atarés, L., Canet, M. J., & Pérez-Pascual, M. A. (2023). Learning Difficulties with the Concept of Function in Maths: A Literature Review. *Education Sciences*, 13(5), 495. <https://doi.org/10.3390/educsci13050495>
- Uchima-Marin, C., Murillo, J., Salvador-Acosta, L., & Acosta-Vargas, P. (2024). Integration of Technological Tools in Teaching Statistics: Innovations in Educational Technology for Sustainable Education. *Sustainability*, 16(19), 8344. <https://doi.org/10.3390/su16198344>
- Valdivia Sepúlveda, C., & Parraguez González, M. (2015). Un modelo cognitivo para la comprensión profunda de la regla de la cadena. *Paradigma*, 36(2), 146-

Vásquez, C., & Alsina, Á. (2021). Analysing Probability Teaching Practices in Primary Education: What Tasks Do Teachers Implement? *Mathematics*, 9(19), 2493. <https://doi.org/10.3390/math9192493>

Vos, P. W. (2025). Random Variables Aren't Random. *Mathematics*, 13(5), 775. <https://doi.org/10.3390/math13050775>

Walpole, R.E., Myers, R.H., Myers, S.L., & Ye, K. (2012). *Probabilidad y estadística para ingeniería y ciencias*. Ciudad de México: Pearson Education, Inc. [https://bibliotecavirtualaserena.wordpress.com/wp-content/uploads/2017/05/libro\\_probabilidad-y-estadistica-para-ingenierc3ada-y-ciencias-ronald-e-walpole-mayers.pdf](https://bibliotecavirtualaserena.wordpress.com/wp-content/uploads/2017/05/libro_probabilidad-y-estadistica-para-ingenierc3ada-y-ciencias-ronald-e-walpole-mayers.pdf)

Xie, S., & Luo, R. (2022). Measuring Variable Importance in Generalized Linear Models for Modeling Size of Loss Distributions. *Mathematics*, 10(10), 1630. <https://doi.org/10.3390/math10101630>

De esta edición de "*Probabilidad y estadística para ingeniería y ciencias*", se terminó de editar en la ciudad de Colonia del Sacramento en la República Oriental del Uruguay el 27 de febrero de 2026

# Probabilidad y Estadística para Ingeniería y Ciencias

**Domingo Guzmán Chumpitaz Ramos**  
**Oscar Benito Pacheco**  
**Edinson Raúl Montoro Alegre**  
**Rosa Luz Medina Aguilar**  
**Richard Jayo Gonzales**  
**Rosa Eva Arenales López**

ISBN: 978-9915-698-72-4



9 789915 698724